



L'uso di legami costitutivi elasto-plastici incrudenti nell'analisi di sistemi geotecnici

***Modelli non lineari per
Analisi di Risposta Sismica Locale***

Prof. Ing. Riccardo Conti
Professore Associato, Università degli Studi di Roma Tor Vergata
Ordine degli Ingegneri della Provincia di Roma

Roma, 26 settembre 2023



Prof. Ing. Riccardo Conti

Modelli non lineari per Analisi di Risposta Sismica Locale

26/09/2023

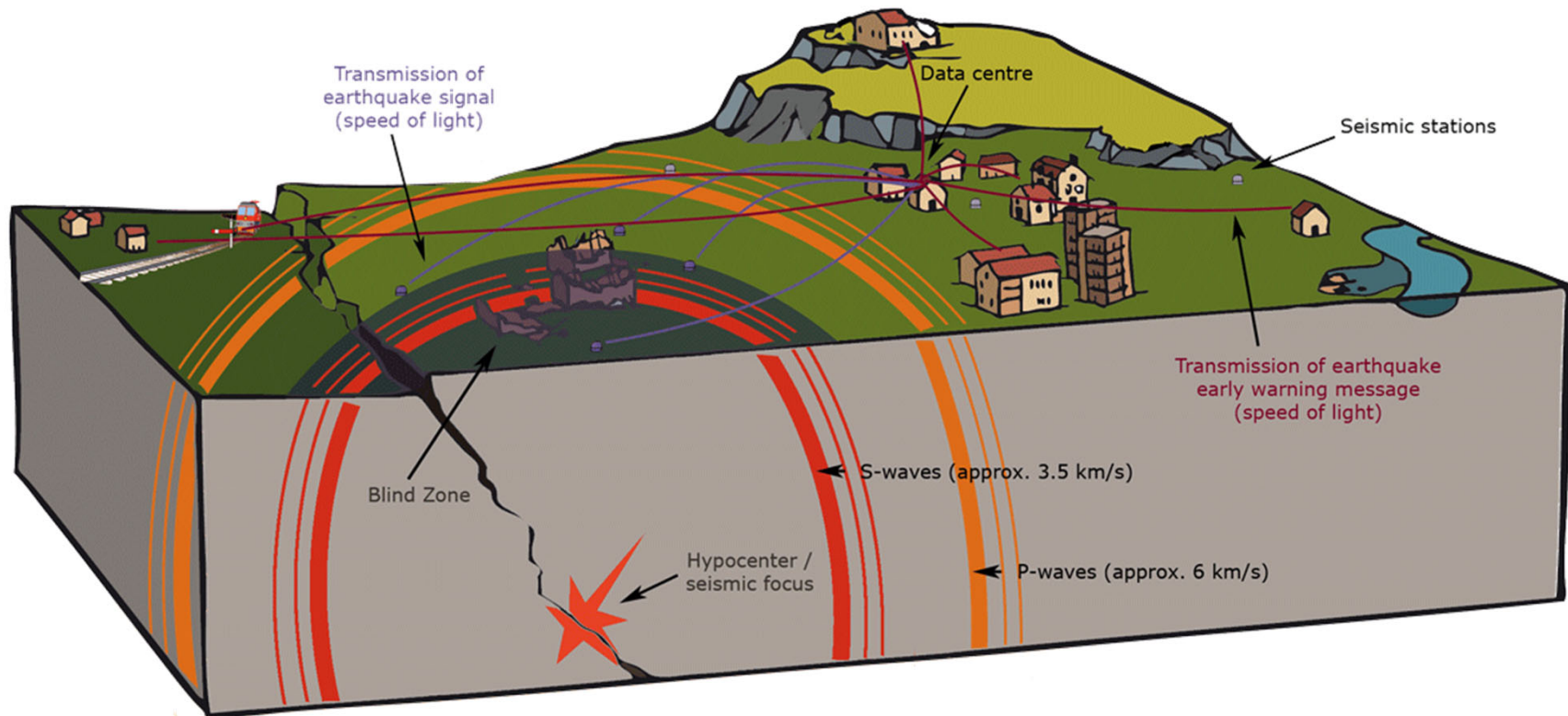


Indice

1. Concetti introduttivi
 - Introduzione
 - Caso studio di Città del Messico
 - Ipotesi semplificative
2. Comportamento meccanico dei terreni
 - Comportamento del terreno sotto azioni cicliche
 - Effetti della non linearità
3. Modelli costitutivi nonlineari
 - Modelli iperbolici
 - Regole di Masing
4. Esempi applicativi
 - Napoli Est
 - Viadotto stradale Centro Italia
5. Conclusioni



Risposta Sismica Locale



Ipocentro/Epicentro
Onde di volume (P, S)
Onde di superficie (R, L)



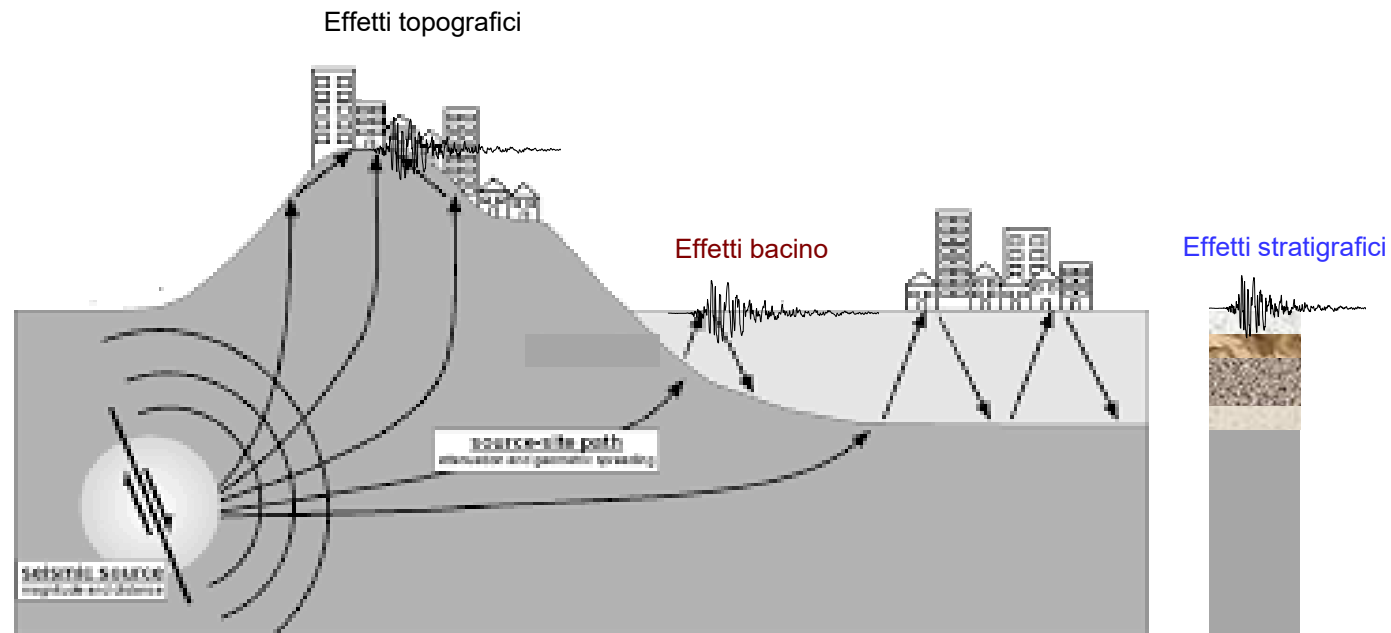
Prof. Ing. Riccardo Conti

Modelli non lineari per Analisi di Risposta Sismica Locale

26/09/2023



Risposta Sismica Locale



Effetti topografici
Effetti bacino
Effetti stratigrafici





Risposta Sismica Locale

Analisi della RSL: studio delle modifiche che il moto sismico subisce (in termini di **ampiezza**, **contenuto in frequenza**, **durata**) per effetto delle condizioni locali

Fattori rilevanti:

☐ Geometria/stratigrafia del deposito

☐ Rigidezza

amplificazioni

☐ Smorzamento

dissipazione di energia

Proprietà
del sistema

☐ Contenuto in frequenza

risonanza

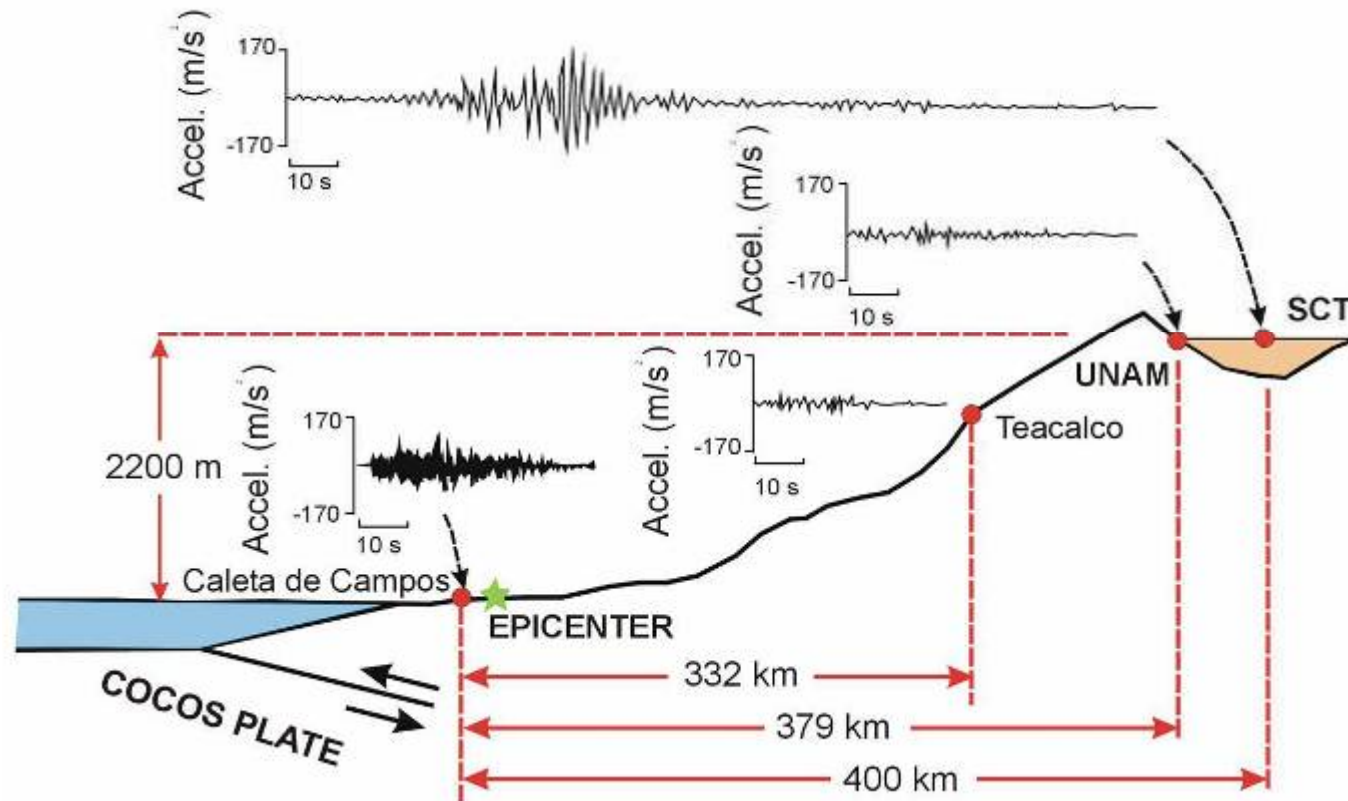
☐ Intensità

nonlinearità

Proprietà
dell'input sismico



Terremoto di Città del Messico (19/09/1985)



- terremoto di elevata intensità ($M=8.1$)
- notevole distanza epicentrale (quasi 400 km)
- accelerazioni registrate su affioramento rigido... ridotte (UNAM, $a_{\max} < 0.1g$)
- accelerazioni registrate su terreno deformabile... elevate (SCT: $a_{\max} = 0.17g$)

ATTENUAZIONE
DELLE ONDE

AMPLIFICAZIONE
LOCALE



Prof. Ing. Riccardo Conti

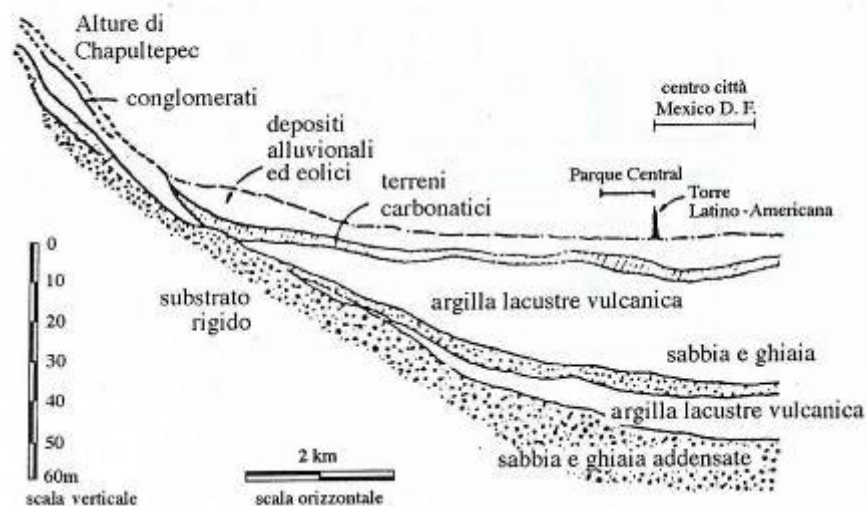
Modelli non lineari per Analisi di Risposta Sismica Locale

26/09/2023



Terremoto di Città del Messico (19/09/1985)

La città è fondata sul deposito di argilla molle e plastica ($I_p=200\%$, $V_s=75$ m/s) che riempie la depressione dell'antico Lago Texcoco (dove sorgeva Tenochtitlan), a seguito della colmata iniziata dopo la conquista spagnola del XVI secolo.



Approximated limits during the diluvial age



At the beginning of sixteenth century



At the beginning of the nineteenth century

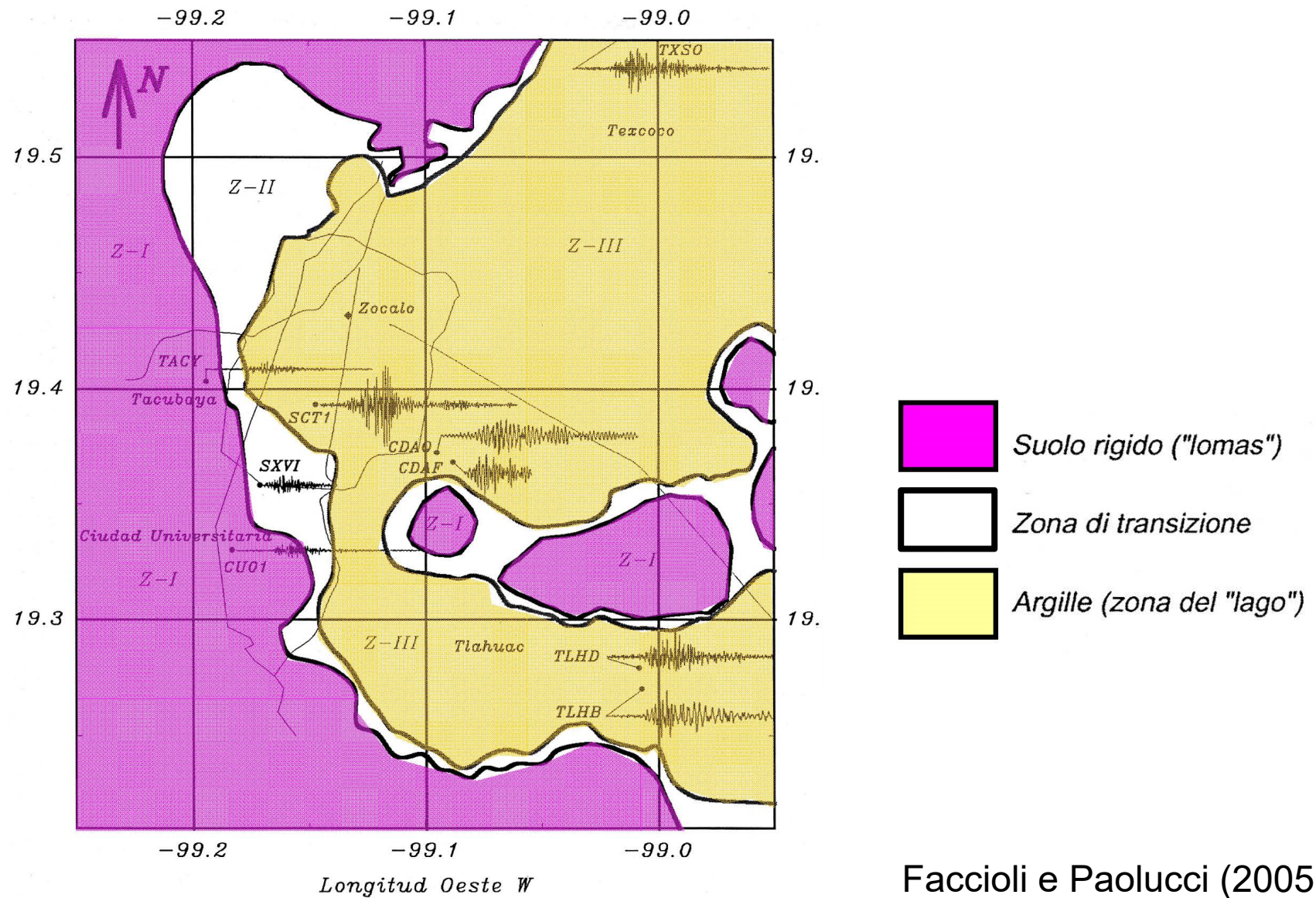


In 1889





Terremoto di Città del Messico (19/09/1985)

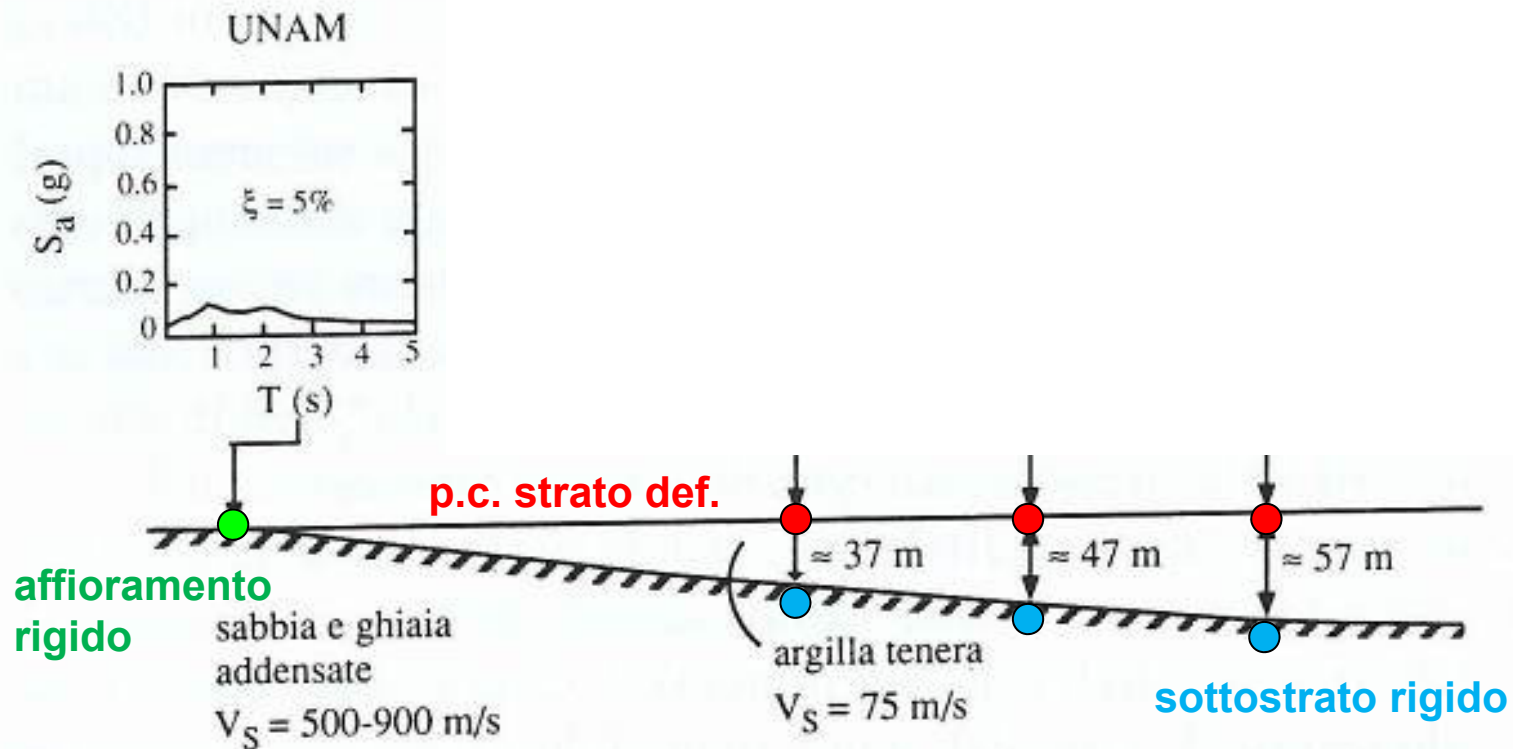


Faccioli e Paolucci (2005)



Terremoto di Città del Messico (19/09/1985)

... dunque, cosa dicono le **registrazioni accelerometriche**:

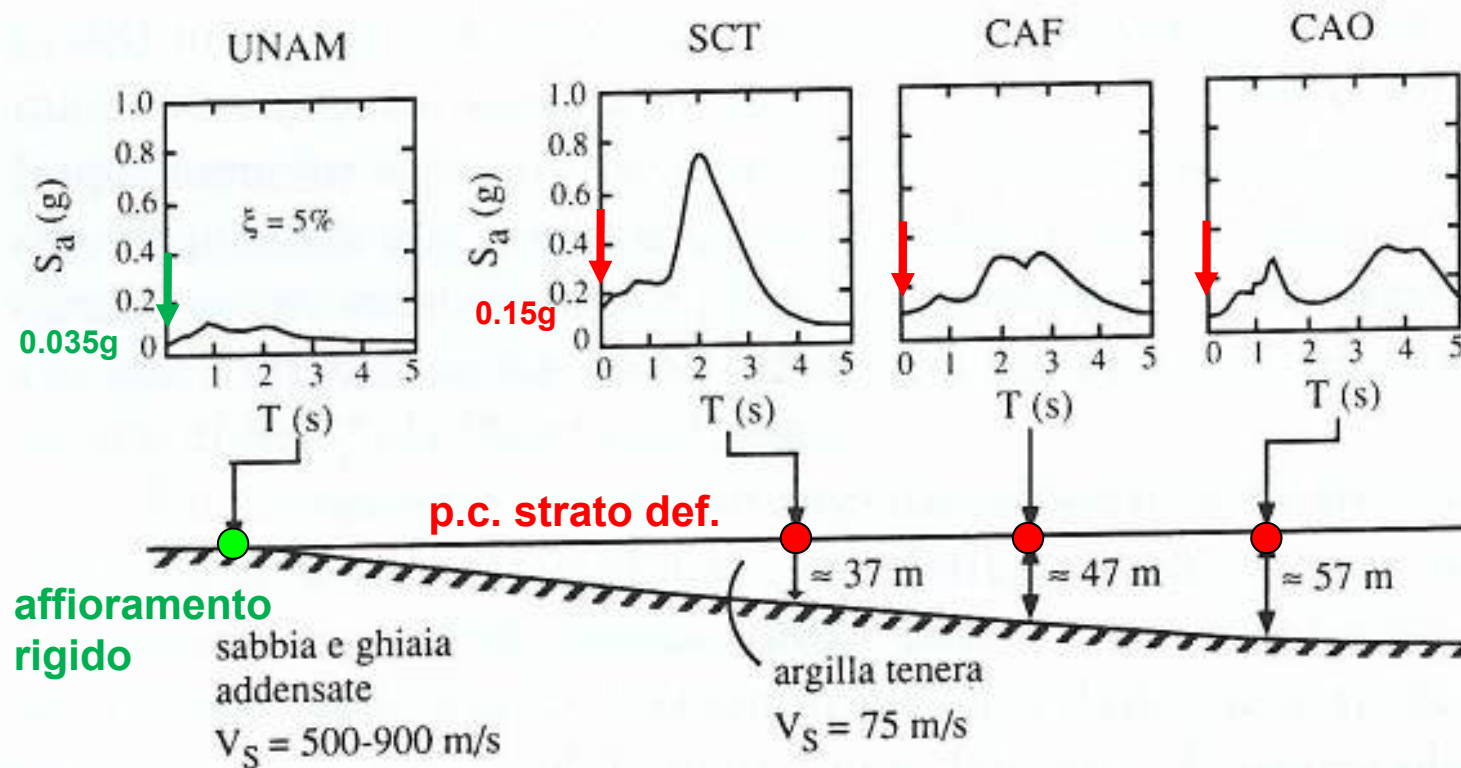




Terremoto di Città del Messico (19/09/1985)

... dunque, cosa dicono le **registrazioni accelerometriche**:

- **amplificazione delle accelerazioni**
(rispetto ad affioramento rigido)

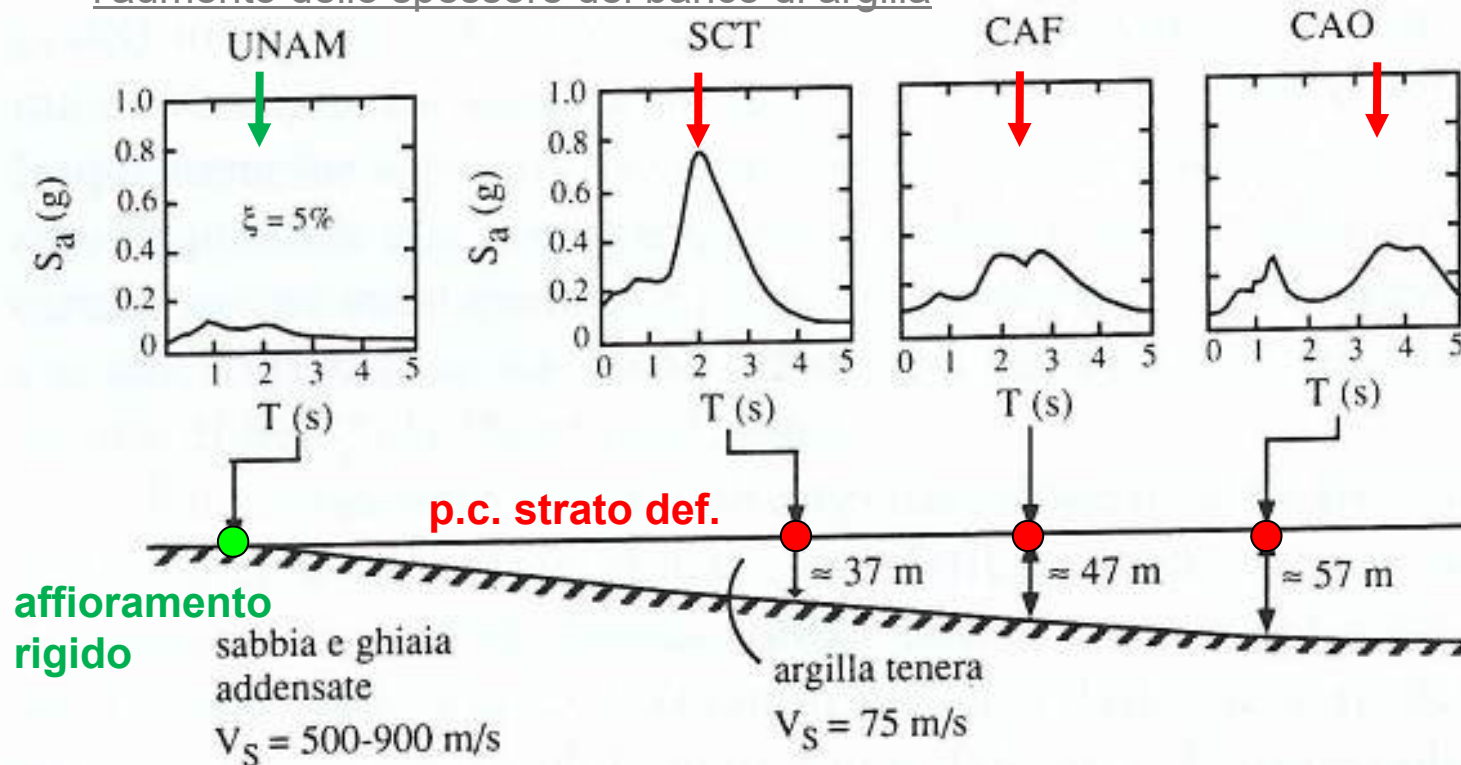




Terremoto di Città del Messico (19/09/1985)

... dunque, cosa dicono le **registrazioni accelerometriche**:

- **amplificazione delle accelerazioni**
(rispetto ad affioramento rigido)
- **variazione del contenuto in frequenza**
riduzione delle frequenze di risposta del sottosuolo (aumento dei periodi) con l'aumento dello spessore del banco di argilla





Terremoto di Città del Messico (19/09/1985)

... esattamente come per lo SDOF...

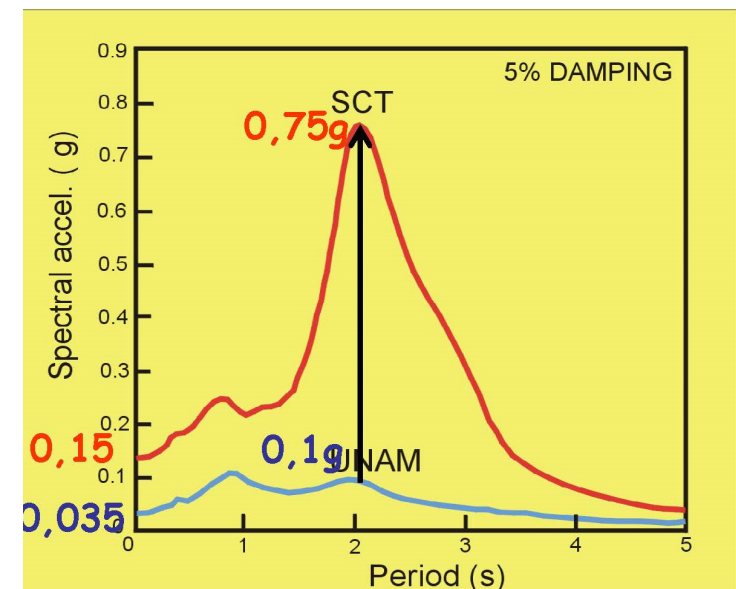
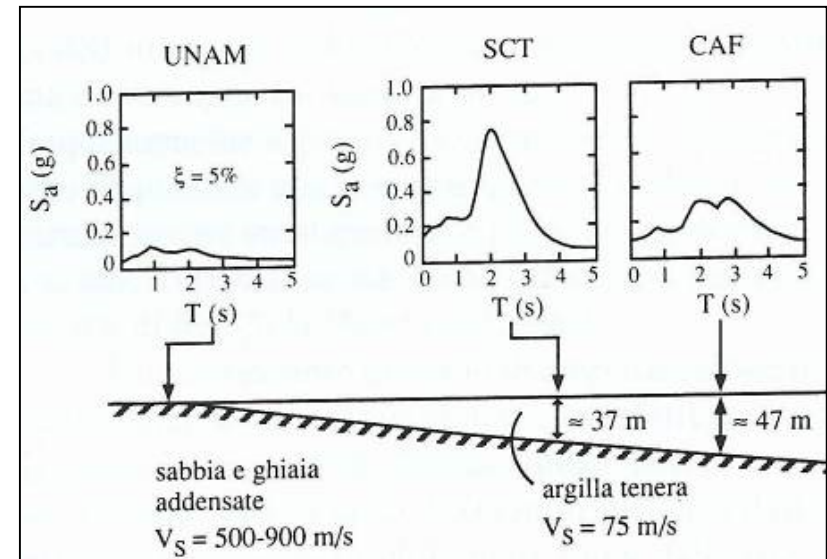
Quando un terremoto (con un certo contenuto in frequenza) “arriva” alla base di uno strato di terreno deformabile, questo tende ad amplificare le frequenze prossime alla sua frequenza fondamentale di vibrare (f_s)

Regola del pollice per il sottosuolo:

$$T_s = \frac{1}{f_s} = \frac{4H}{V_s}$$

H = spessore terreno deformabile

V_s = velocità onde di taglio S nel terreno





Fenomeni di risonanza

... ma, risonanza è probabile?

$V_s(\text{m/s})$ H(m)	50	100	200	400	800
5	2,5	5,0	10,0	20,0	40,0
10	1,25	2,5	5,0	10,0	20,0
20	0,62	1,25	2,5	5,0	10,0
50	0,25	0,5	1,0	2,5	4,0
100	-	0,25	0,5	1,0	2,0
200	-	-	0,25	0,5	1,0
500	-	-	-	0,25	0,4

$$T_0 = \frac{4H}{V_s}$$

$$f_0 = \frac{V_s}{4H}$$

Valori tipici della
frequenza fondamentale [Hz]



Risposta sismica locale

Ipotesi generalmente assunte nella modellazione:

- moto sismico derivante principalmente dalla propagazione di onde di volume
 - Stratificazioni e piano campagna orizzontali
 - terreni naturali sotto falda
 - azioni molto rapide nel tempo (CND)
 - rifrazioni successive
(strati sempre più deformabili verso la superficie)
- onde di superficie trascurabili
- Geometria 1D
- deformazioni volumetriche (onde P) ≈ 0
- onde S propagantisi in direzione \approx verticale

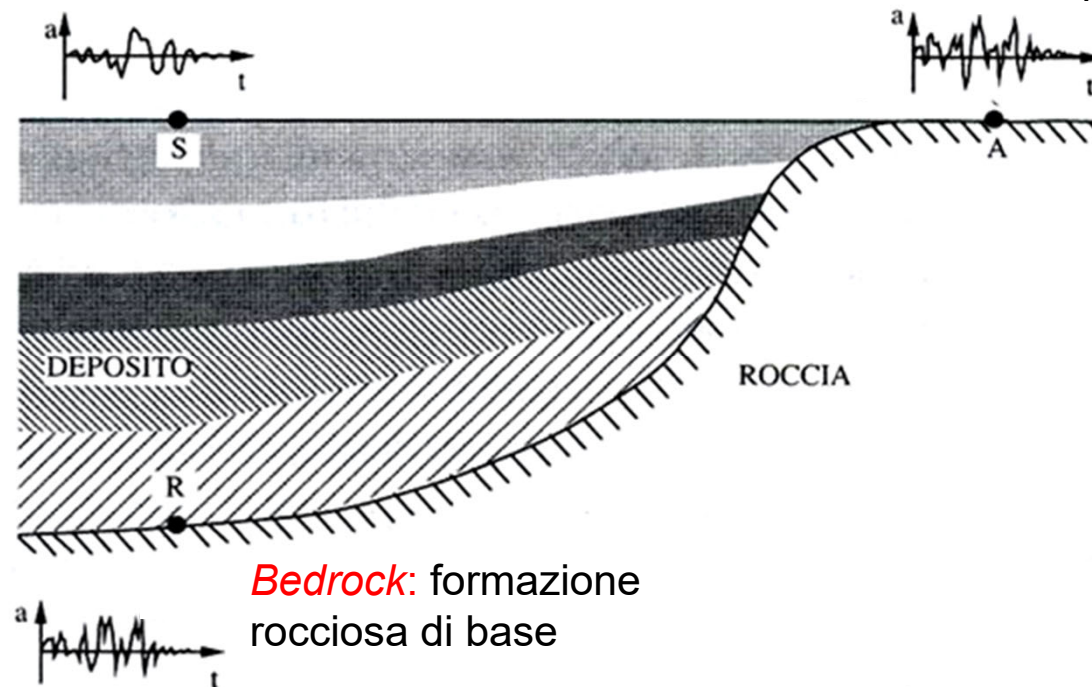
Problema monodimensionale (1D)
Moto sismico orizzontale
Comportamento a taglio del terreno



Risposta sismica locale

Free-field: in superficie, al di sopra del deposito di terreno

Outcrop: affioramento in superficie della formazione rocciosa di base (*bedrock*)



Moto sismico di riferimento (*bedrock/outcrop*)

Moto sismico in superficie, al di sopra del deposito di terreno, in assenza di manufatti (*free-field*)



Risposta sismica locale

Analisi 1D di colonna di terreno stratificato



- Campo di spostamento:

$$\underline{u}(\underline{x}, t) = u(z, t)$$

- Equazioni indefinite di equilibrio:

$$\frac{\partial \tau}{\partial z} = \rho \frac{\partial^2 u}{\partial t^2}$$

- Condizioni al contorno:

- $z=0$ (superficie libera)

- $z=H$ (dipende da deformabilità *bedrock*)

- Equazione costitutiva:

$$\tau = f(\gamma)$$



Risposta sismica locale

Analisi 1D di colonna di terreno stratificato



Comportamento meccanico del terreno determina:

- ☐ Fenomeno fisico
(amplificazioni, dissipazioni di energia, ...)
- ☐ Scelta del modello costitutivo
(elastico, nonlineare, avanzato, ...)
- ☐ Metodo di risoluzione dell'equazione del moto
(lineare, lineare-equivalente, nonlineare)

☐ Equazione costitutiva:

$$\tau = f(\gamma)$$



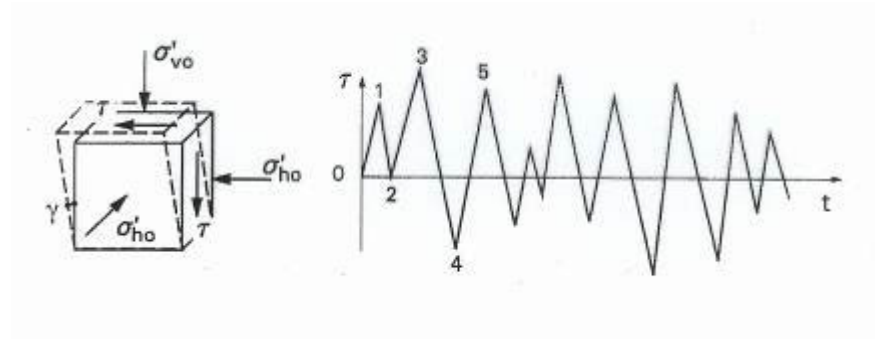
Indice

1. Concetti introduttivi
 - Definizioni
 - Caso studio di Città del Messico
 - Ipotesi semplificative
2. Comportamento meccanico dei terreni
 - **Comportamento del terreno sotto azioni cicliche**
 - **Effetti della non linearità**
3. Modelli costitutivi nonlineari
 - Modelli iperbolici
 - Regole di Masing
4. Esempi applicativi
 - Napoli Est
 - Viadotto stradale Centro Italia
5. Conclusioni



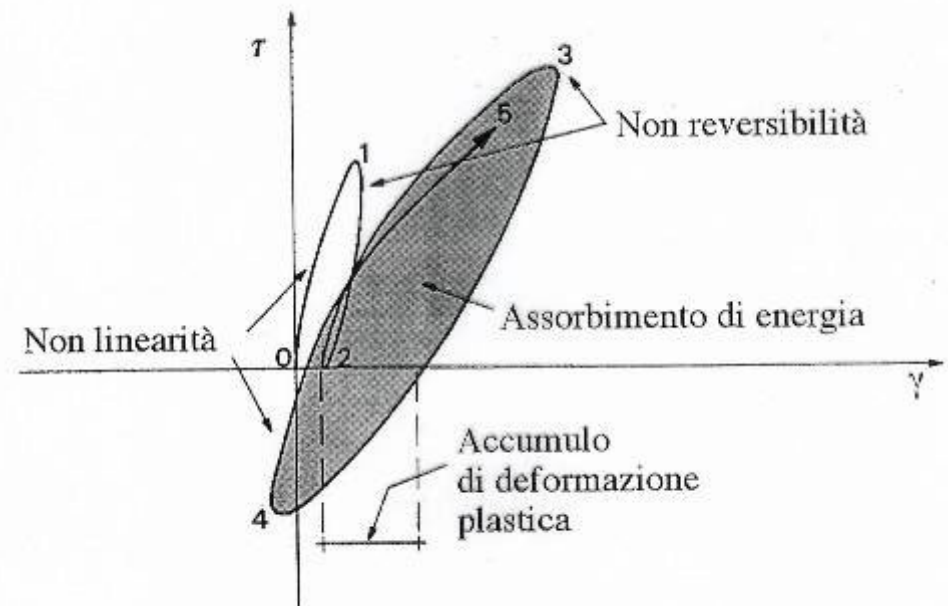
Comportamento meccanico dei terreni

... sotto azioni **cicliche** o **dinamiche**...



Comportamento osservato:

1. non linearità
(rigidezza)
2. dissipazione di energia
(smorzamento)
3. irreversibilità
(resistenza)

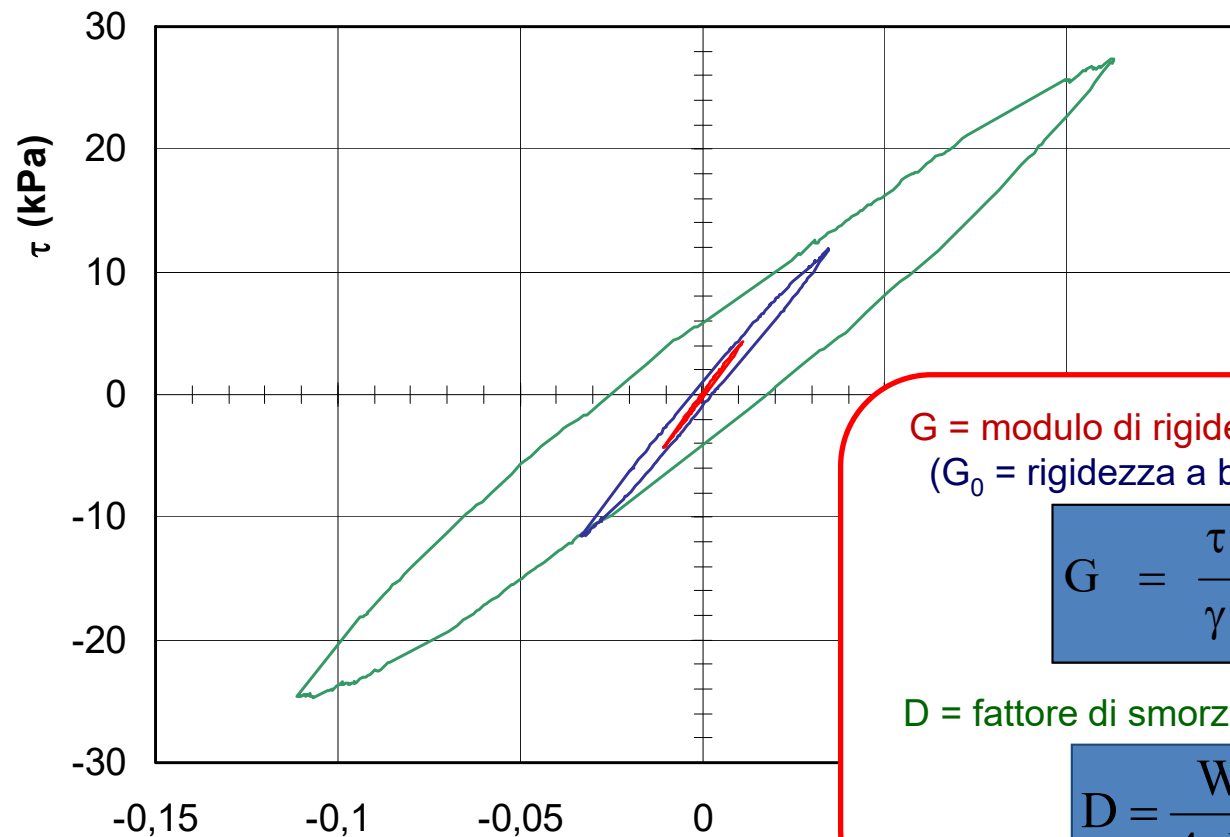




Comportamento meccanico dei terreni

All'aumentare del livello di sollecitazione, il ciclo tensione-deformazione:

- si inclina sempre di più → **la non linearità si accentua**
- si allarga progressivamente → **la dissipazione di energia aumenta**



G = modulo di rigidezza a taglio secante
(G_0 = rigidezza a basse deformazioni)

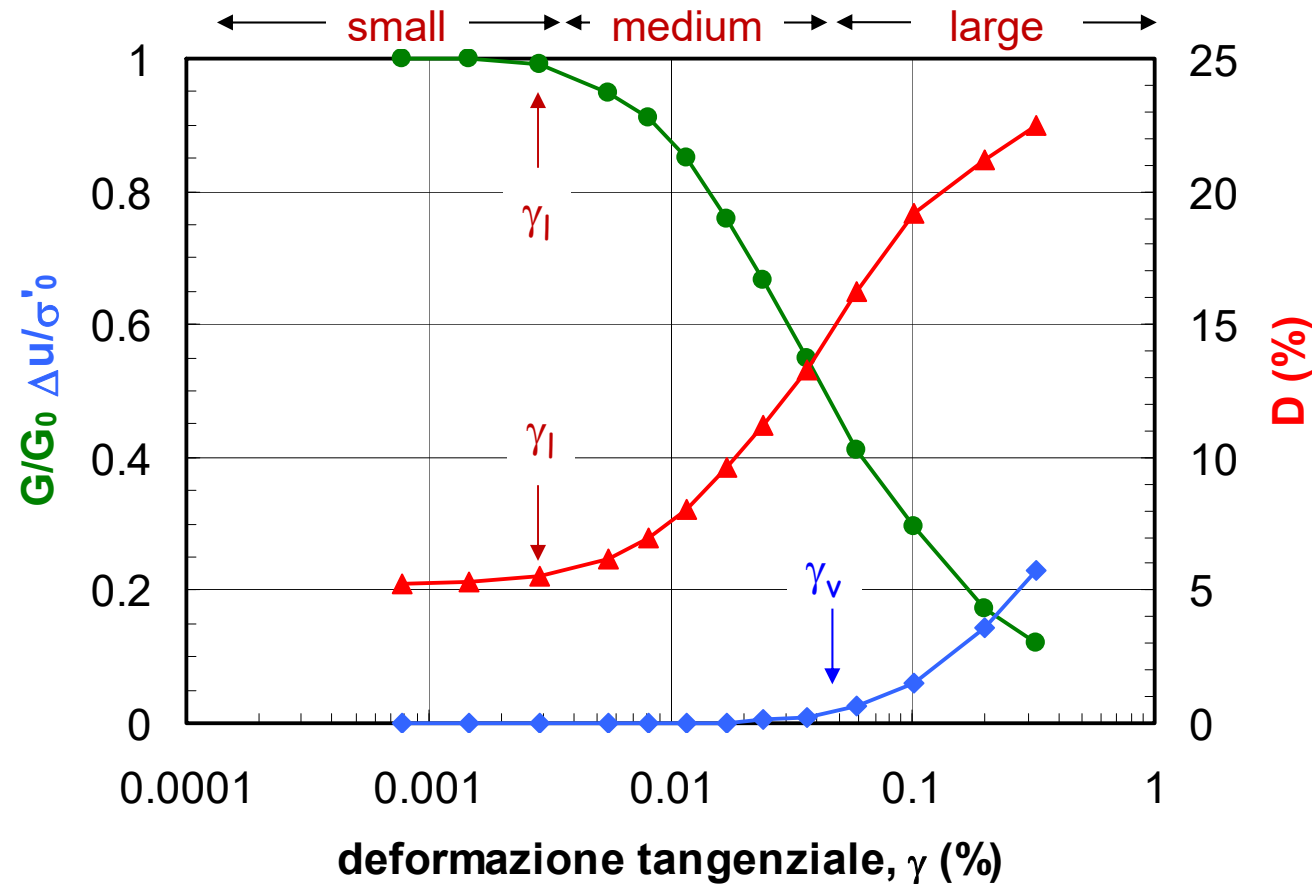
$$G = \frac{\tau_{pp}}{\gamma_{pp}}$$

D = fattore di smorzamento (*damping*)

$$D = \frac{W_D}{4\pi W_S}$$



Comportamento meccanico dei terreni



All'aumentare di γ :

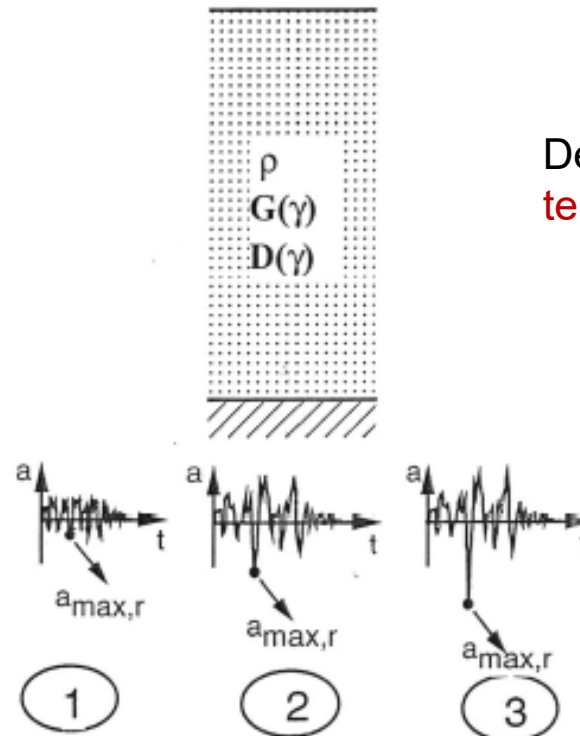
- la rigidezza G diminuisce
- lo smorzamento D aumenta
- sviluppo Δu (accoppiamento vol.-dev.)

due livelli deformativi di 'soglia':

- una soglia di linearità, γ_l
- una soglia volumetrica, γ_v



Effetti della non linearità

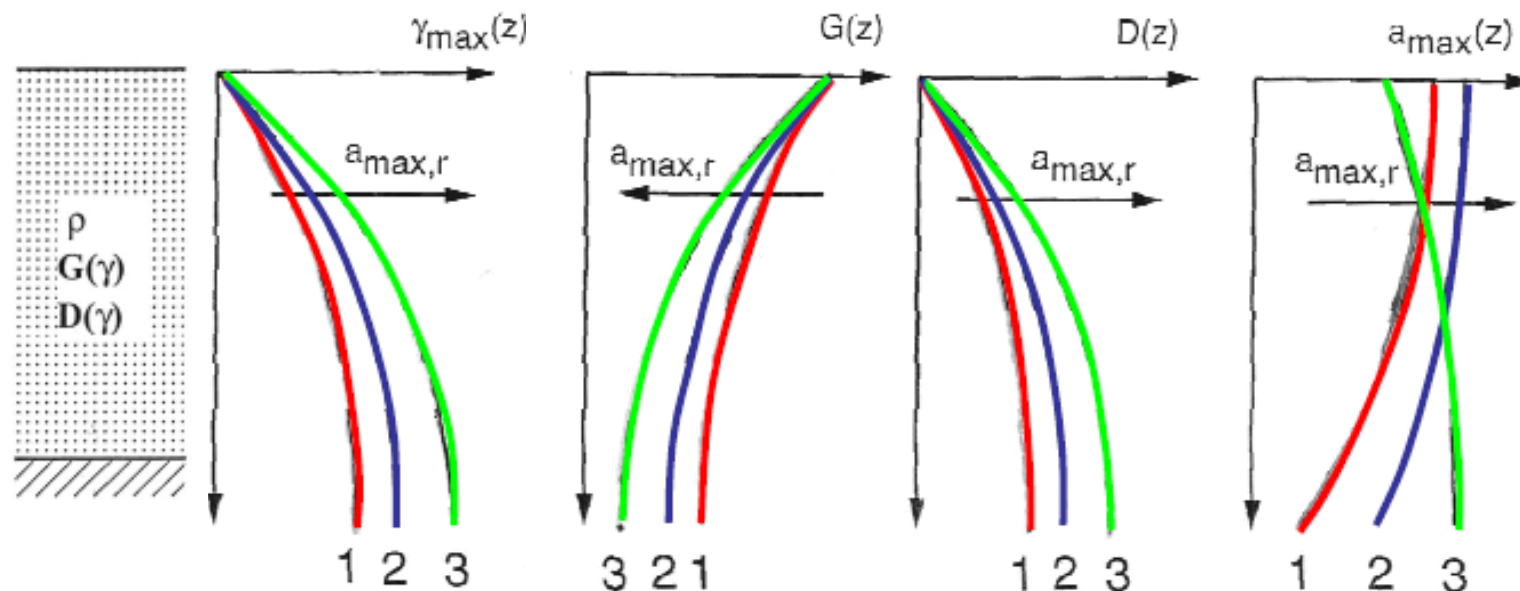


Deposito ideale di
terreno omogeneo

Cosa succede, quindi, se consideriamo un **input sismico al bedrock** caratterizzato da **valori crescenti dell'accelerazione di picco $a_{max,r}$**



Effetti della non linearità

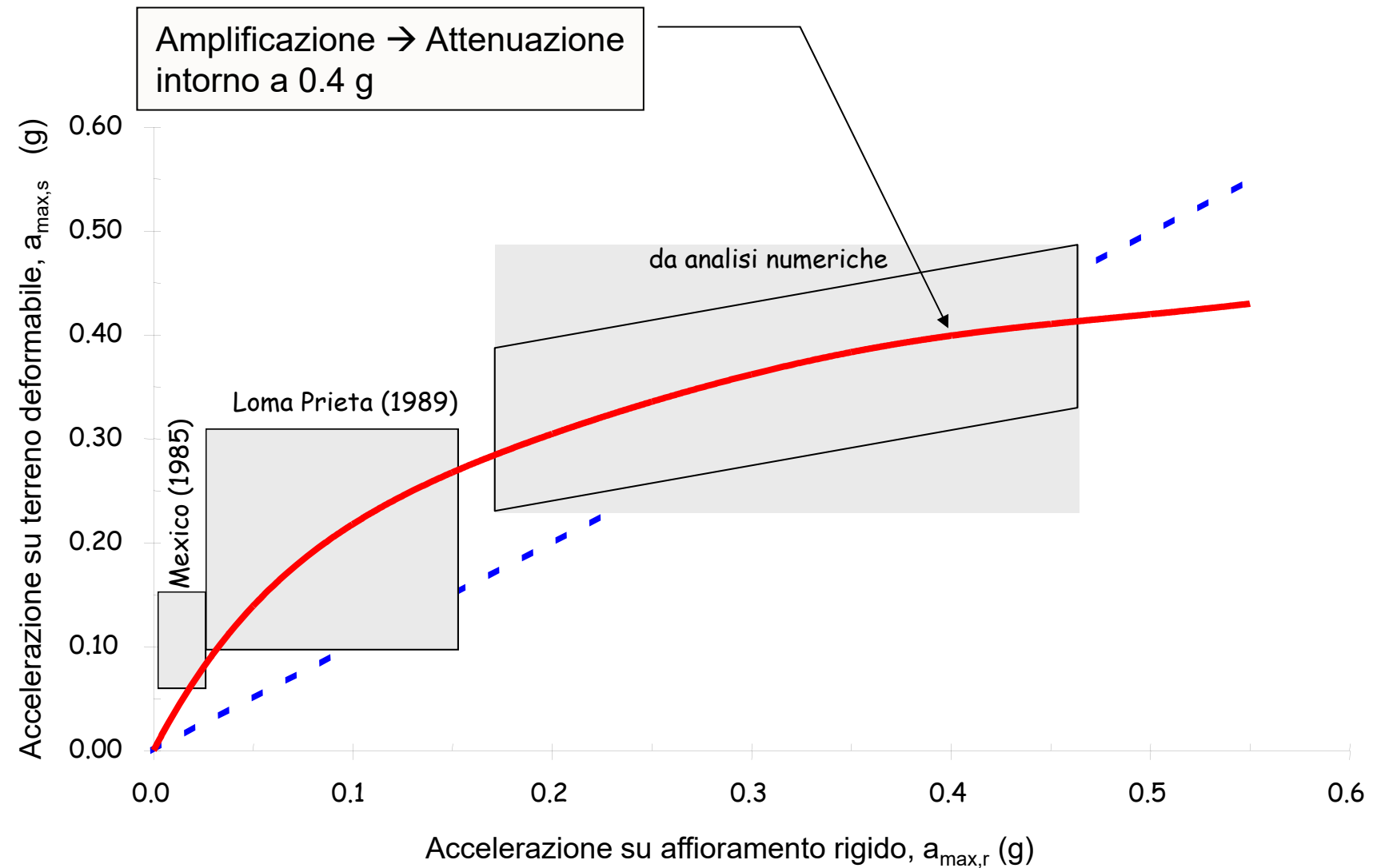


Al crescere dell'accelerazione su roccia $a_{\max,r}$:

- aumentano le γ_{\max} ...
- ... e conseguentemente si verifica una riduzione di G e un aumento di D
- per bassi livelli di energia (curve 1 e 2) l'accelerazione aumenta dal basamento alla superficie
- per elevati livelli di energia (curva 3) l'accelerazione può invece diminuire lungo il profilo



Effetti della non linearità



(Idriss, 1990)



Indice

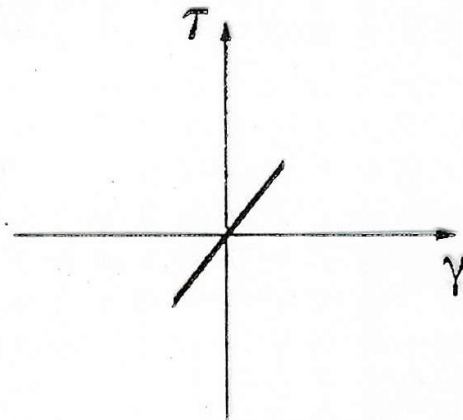
1. Concetti introduttivi
 - Definizioni
 - Caso studio di Città del Messico
 - Ipotesi semplificative
2. Comportamento meccanico dei terreni
 - Comportamento del terreno sotto azioni cicliche
 - Effetti della non linearità
3. **Modelli costitutivi nonlineari**
 - **Modelli iperbolici**
 - **Regole di Masing**
4. Esempi applicativi
 - Napoli Est
 - Viadotto stradale Centro Italia
5. Conclusioni



Modelli costitutivi

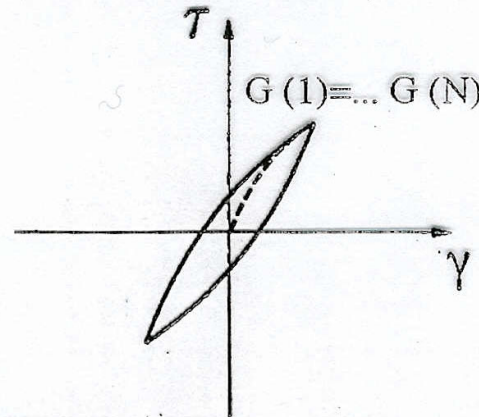
$$\gamma < \gamma_l$$

piccole deformazioni



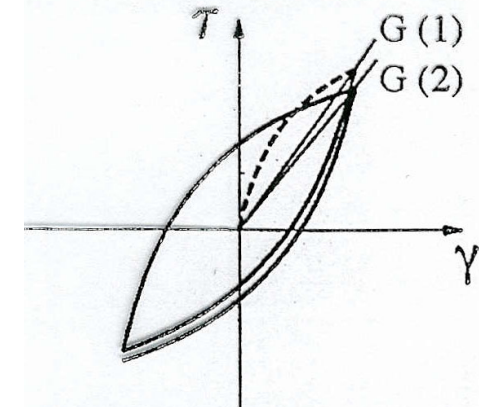
$$\gamma_l < \gamma < \gamma_v$$

medie deformazioni



$$\gamma > \gamma_v$$

grandi deformazioni



Piccole deformazioni $\gamma < \gamma_l$	Medie deformazioni $\gamma_l < \gamma < \gamma_v$	Grandi deformazioni $\gamma > \gamma_v$
Modelli visco-elastici lineari	Modelli a parametri variabili Modelli non lineari	Modelli elasto-plastici
Tensioni totali		Tensioni efficaci
Analisi lineare (frequenze)	Analisi lineare equivalente (frequenze) Analisi non lineare (tempo)	Analisi non lineare (tempo)



Prof. Ing. Riccardo Conti

Modelli non lineari per Analisi di Risposta Sismica Locale

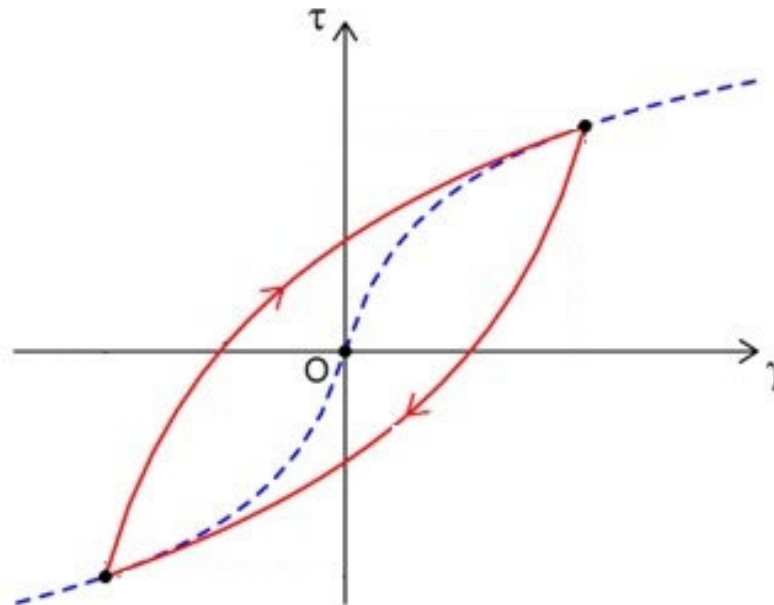
26/09/2023



Modelli nonlineari

Nei **modelli non lineari** è necessario descrivere la risposta del materiale in ogni punto del ciclo di carico, ossia lungo:

- ❑ La *backbone*, $\tau = F_b(\gamma)$
- ❑ I rami di scarico-ricarico



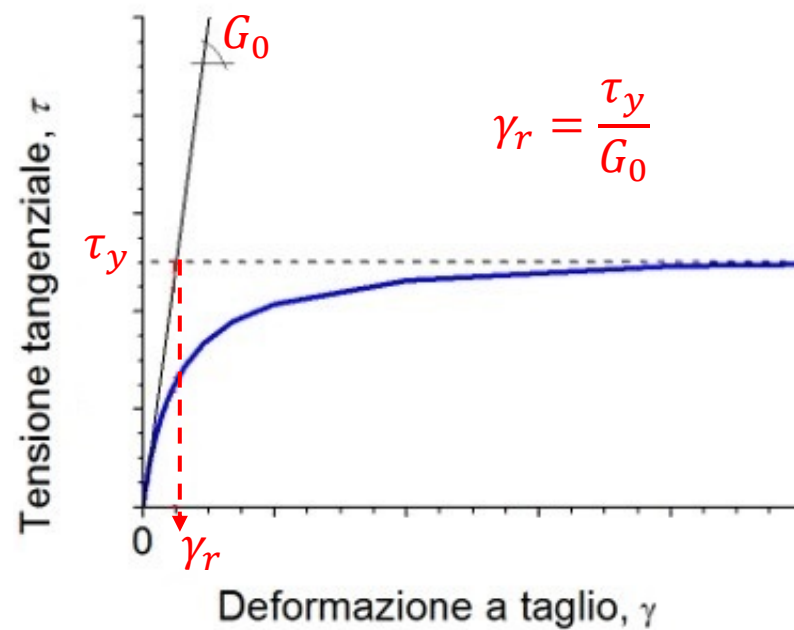
... **modelli iperbolici**: particolare classe di modelli nonlineari



Modelli iperbolici

backbone, $F_b(\gamma)$

Hardin & Drnevich (1972)



Equazione costitutiva:

$$\tau(\gamma) = \frac{a\gamma}{b + |\gamma|}$$

Condizioni richieste:

1. $\lim_{\gamma \rightarrow \infty} \tau(\gamma) = \tau_y$
2. $\left. \frac{d\tau}{d\gamma} \right|_{\gamma=0} = G_0$

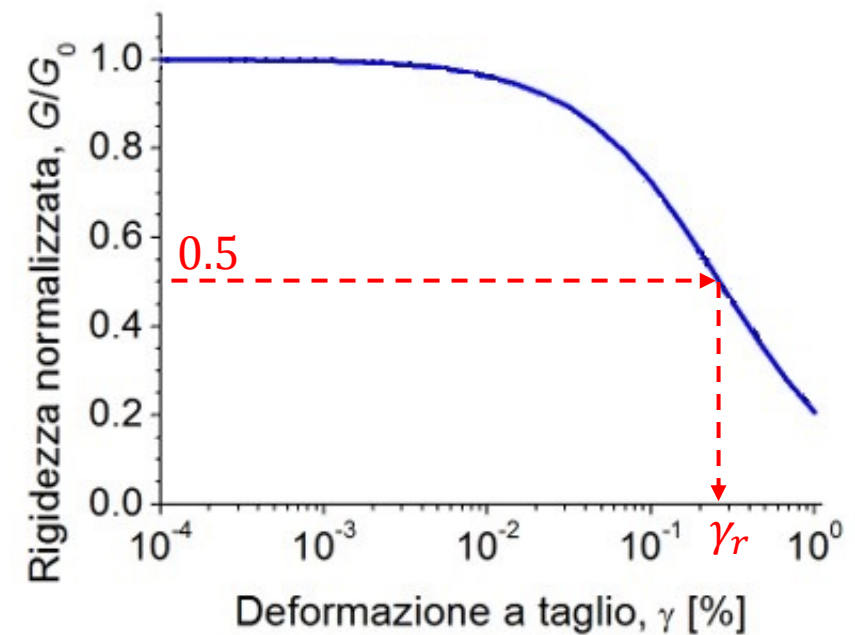
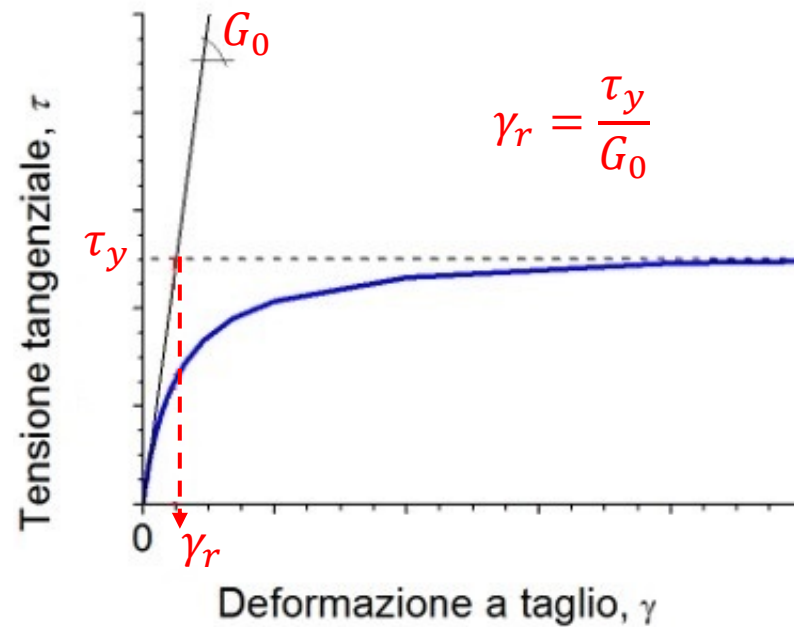
$$\tau(\gamma) = \frac{G_0 \gamma}{1 + |\gamma/\gamma_r|}$$



Modelli iperbolici

backbone, $F_b(\gamma)$

Hardin & Drnevich (1972)



$$\tau(\gamma) = \frac{G_0 \gamma}{1 + |\gamma/\gamma_r|}$$

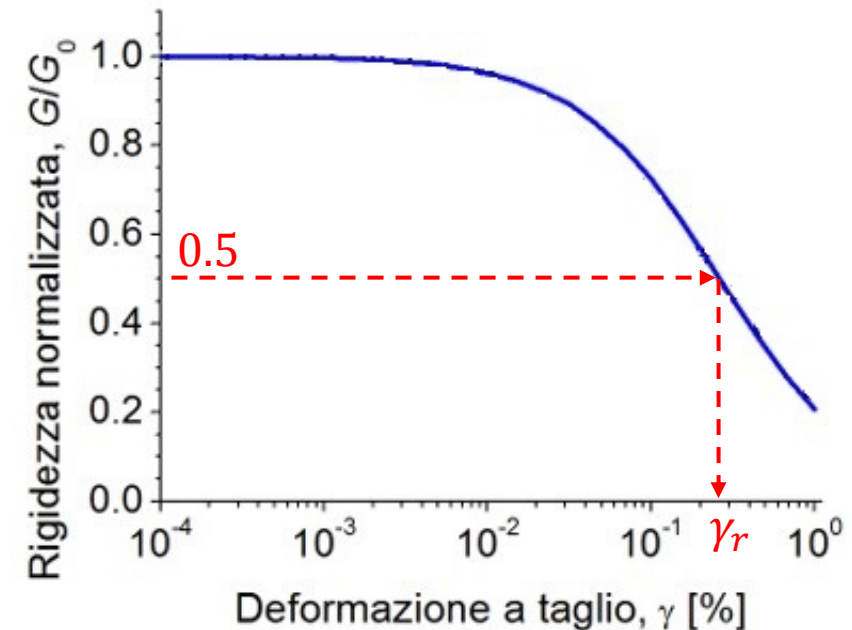
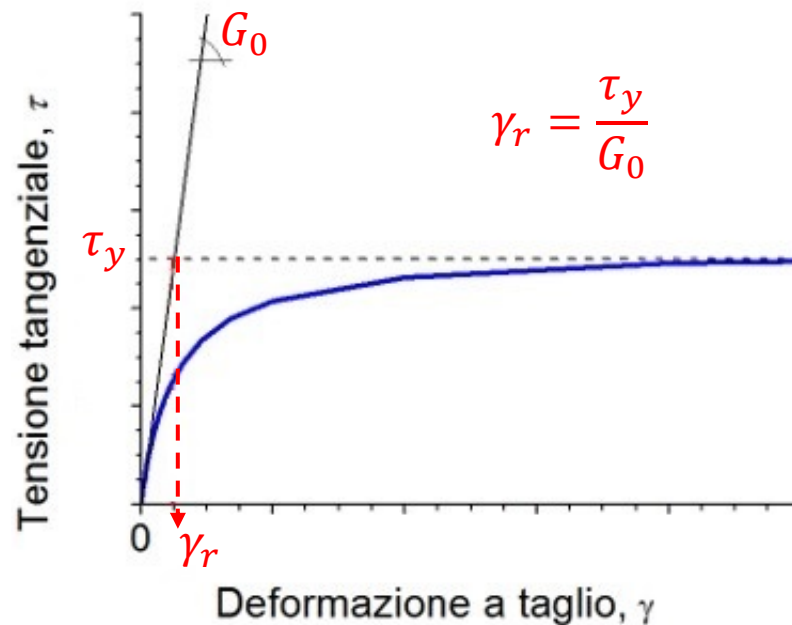
$$\frac{G(\gamma)}{G_0} = \frac{1}{1 + |\gamma/\gamma_r|}$$



Modelli iperbolici

backbone, $F_b(\gamma)$

Hardin & Drnevich (1972)



modello iperbolico classico:

- 2 parametri costitutivi tra G_0 , τ_y e γ_r
- Tipicamente si considerano G_0 e γ_r
- γ_r tarato su dati sperimentali di curve di decadimento
- Si perde informazione su resistenza del materiale

Modelli iperbolici a più parametri



Modelli iperbolici

backbone, $F_b(\gamma)$

Matasovic & Vucetic (1995)

modello iperbolico modificato (MKZ):

- ❑ 4 parametri costitutivi: G_0 , γ_r , β e s
- ❑ γ_r , β e s tarati su dati sperimentali di curve di decadimento
- ❑ ... anche qui si perde informazione su resistenza del materiale

Curva di primo carico (*backbone*):

$$\tau(\gamma) = \frac{G_0 \gamma}{1 + \beta |\gamma / \gamma_r|^s}$$

Curva di decadimento:

$$\frac{G(\gamma)}{G_0} = \frac{1}{1 + \beta |\gamma / \gamma_r|^s}$$



Modelli iperbolici

backbone, $F_b(\gamma)$

Modello Iperbolico
(Hardin & Drnevich, 1972)

$$\frac{G}{G_0} = \frac{1}{1 + (\gamma/\gamma_r)}$$

Curva di primo carico “backbone”:

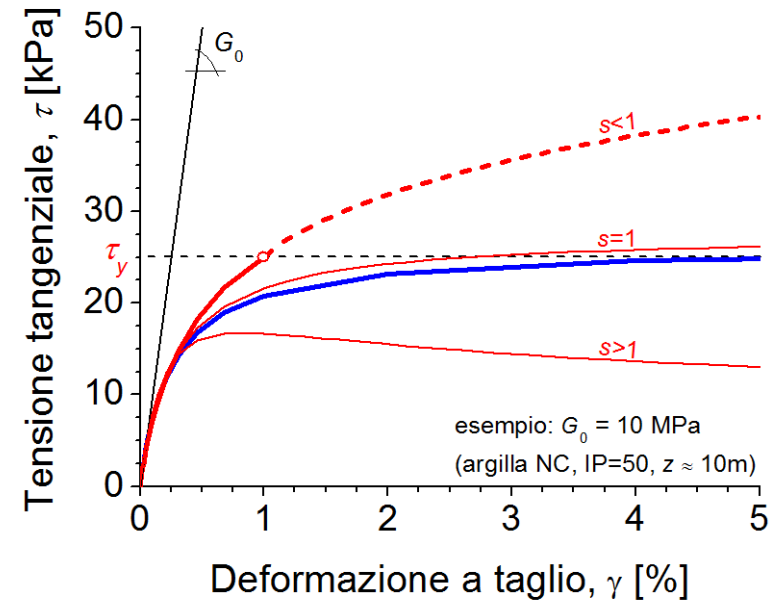
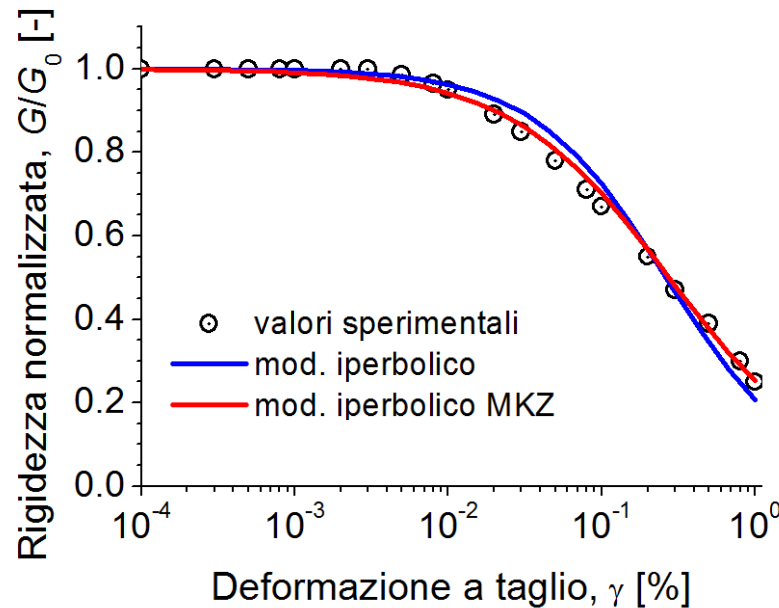
$$\tau = F_{bb}(\gamma) = \frac{\gamma \cdot G_0}{1 + (\gamma/\gamma_r)}$$

Modello Iperbolico modificato (MKZ)
(Matasovic & Vucetic, 1995)

$$\frac{G}{G_0} = \frac{1}{1 + \beta (\gamma/\gamma_r)^s}$$

Curva di primo carico “backbone”:

$$\tau = F_{bb}(\gamma) = \frac{\gamma \cdot G_0}{1 + \beta (\gamma/\gamma_r)^s}$$





Modelli iperbolici

backbone, $F_b(\gamma)$

Hardin & Drnevich (1972)

Conti et al. (2020)

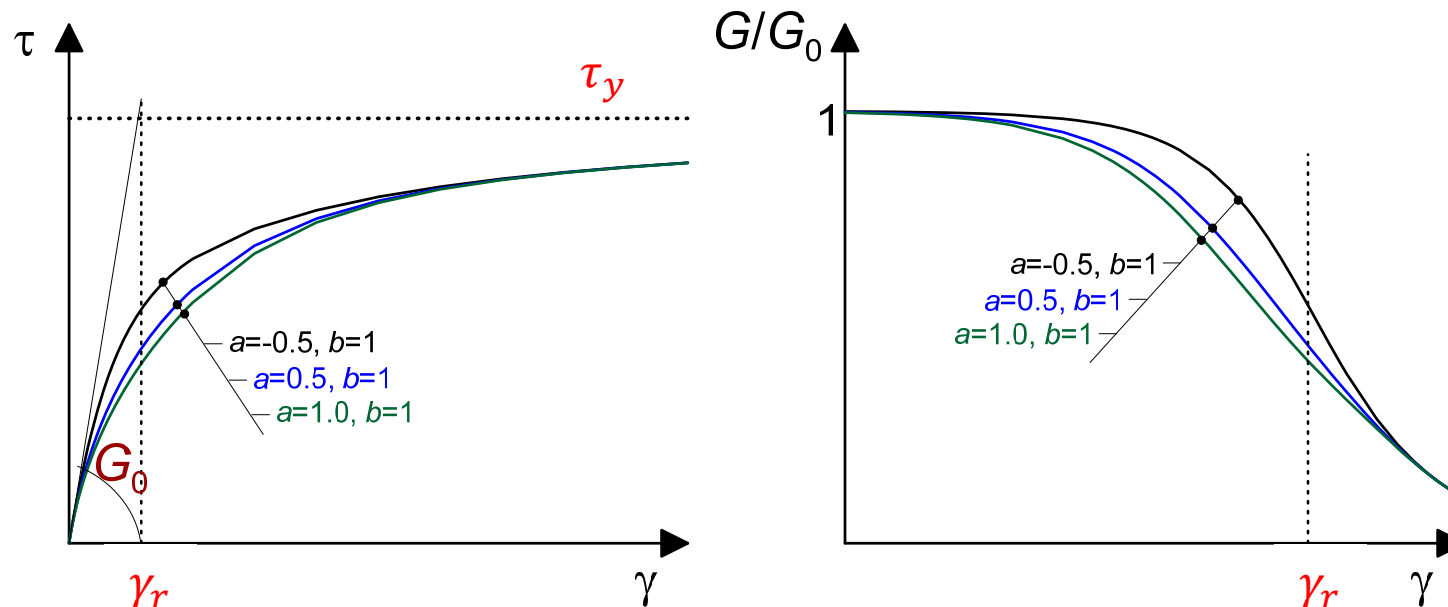
modello iperbolico modificato (MHD):

❑ 4 parametri costitutivi: G_0 , τ_y , a e b

❑ ... sia **nonlinearità** sia **resistenza** come ingredienti costitutivi

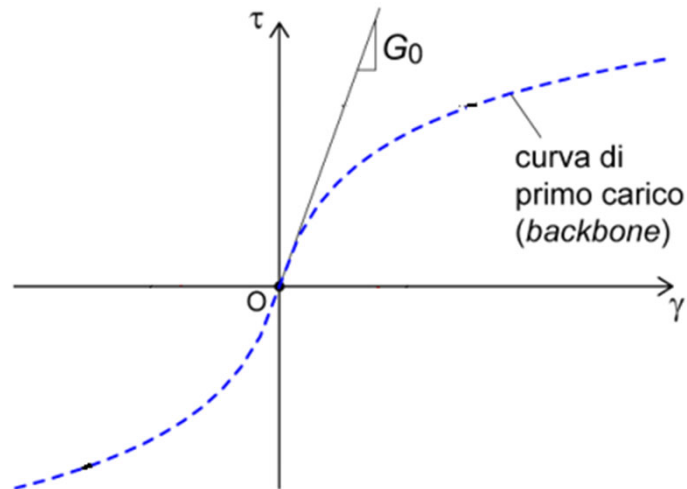
$$\tau(\gamma) = \frac{G_0 \gamma}{1 + \frac{\gamma}{\gamma_r} \left[1 + a \exp \left(-b \frac{\gamma}{\gamma_r} \right) \right]}$$

$$\gamma_r = \frac{\tau_{lim}}{G_0}$$

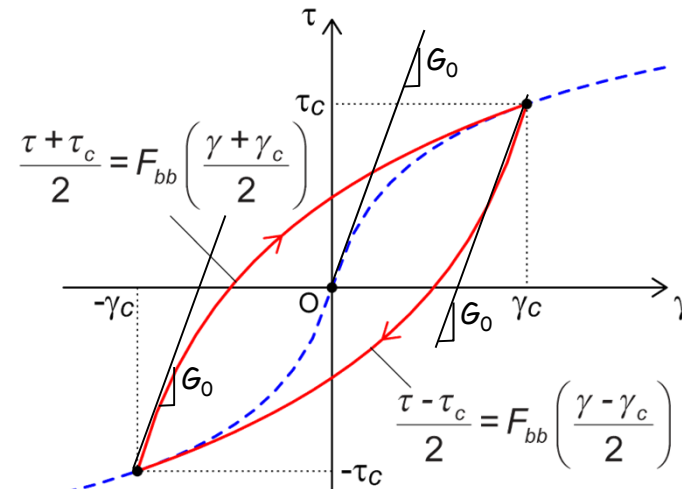




1° criterio di Masing

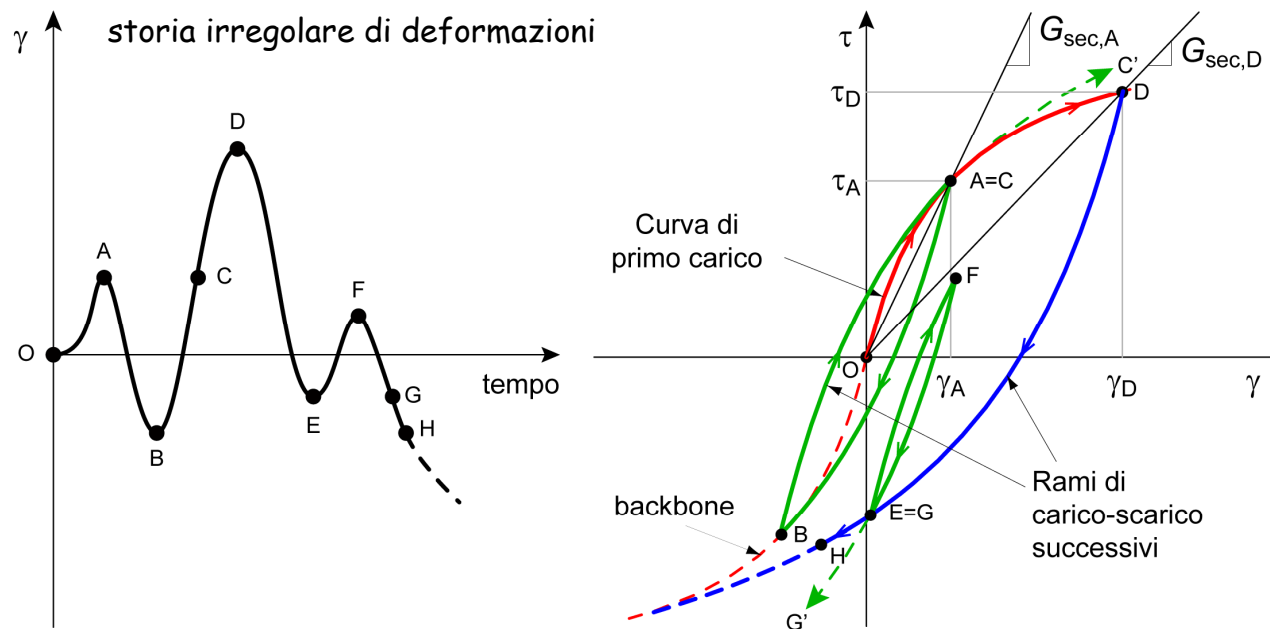


2° criterio di Masing



1. In condizioni di primo carico, la curva $\tau:\gamma$ segue la *backbone* $F_{bb}(\gamma)$
2. La curva di scarico-ricarico si ottiene per omotetia (2:1) di $\tau:\gamma$ al primo carico \Rightarrow il modulo iniziale in scarico-ricarico è pari a G_0

Sollecitazioni
armoniche
(laboratorio)



1. In condizioni di primo carico, la curva $\tau:\gamma$ segue la *backbone* $F_{bb}(\gamma)$
2. La curva di scarico-ricarico si ottiene per omotetia (2:1) di $\tau:\gamma$ al primo carico \Rightarrow il modulo iniziale in scarico-ricarico è pari a G_0
3. Se in un ciclo di scarico-ricarico interseco la *backbone* \Rightarrow la curva $\tau:\gamma$ segue la *backbone*
4. Se in un ciclo di scarico-ricarico interseco un ciclo precedente \Rightarrow la curva $\tau:\gamma$ segue il ciclo precedente

Sollecitazioni
armoniche
(laboratorio)

Sollecitazioni
NON armoniche
(terremoto)

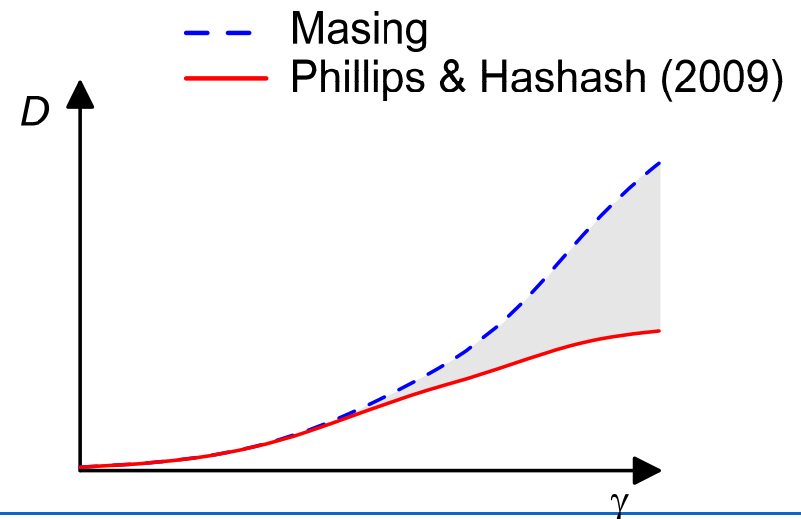
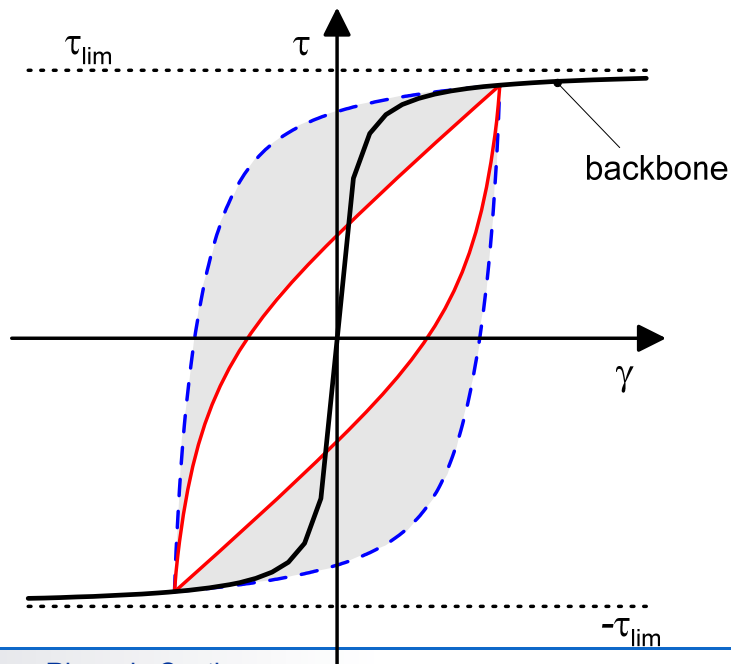


2° Regola di Masing modificata:

$$\tau - \tau_r = 2\alpha(\gamma_m)\Phi\left(\frac{\gamma - \gamma_r}{2}\right) + [1 - \alpha(\gamma_m)]\Psi(\gamma - \gamma_r)$$

$$\alpha(\gamma_m) = 1 - c \left[1 - \frac{G(\gamma_m)}{G_0}\right]^d$$

$\gamma_m = \text{max. def. corrente}$





Modelli nonlineari

Modello	<i>Backbone</i>	Parametri costitutivi
HD	$\tau(\gamma) = \frac{G_0 \gamma}{1 + \gamma/\gamma_r }$	<div><input type="checkbox"/> G_0</div> <div><input type="checkbox"/> γ_r</div>
MKZ	$\tau(\gamma) = \frac{G_0 \gamma}{1 + \beta \gamma/\gamma_r ^s}$	<div><input type="checkbox"/> G_0</div> <div><input type="checkbox"/> γ_r, β, s</div>
MHD	$\tau(\gamma) = \frac{G_0 \gamma}{1 + \frac{\gamma}{\gamma_r} \left[1 + a \exp \left(-b \frac{\gamma}{\gamma_r} \right) \right]}$	<div><input type="checkbox"/> G_0</div> <div><input type="checkbox"/> τ_y ($\gamma_r = \tau_y / G_0$)</div> <div><input type="checkbox"/> a, b</div>

Rigidezza a piccole deformazioni

Nonlinearità

Resistenza





Modelli nonlineari

Regola di inversione

Parametri costitutivi

$$\tau - \tau_r = 2\Phi\left(\frac{\gamma - \gamma_r}{2}\right)$$

$$\tau - \tau_r = 2\alpha(\gamma_m)\Phi\left(\frac{\gamma - \gamma_r}{2}\right) + [1 - \alpha(\gamma_m)]\Psi(\gamma - \gamma_r)$$

$$\alpha(\gamma_m) = 1 - c \left[1 - \frac{G(\gamma_m)}{G_0}\right]^d$$

□ c, d

Rigidezza a piccole deformazioni

Nonlinearità

Resistenza

Smorzamento





Modelli nonlineari

Taratura dei parametri costitutivi

- Rigidezza a piccole deformazioni

$$G_0$$

Prove dinamiche in sito
Prove RC/TS

- Resistenza

$$\tau_{\text{lim}} = p' \cdot f(\phi', \text{OCR})$$

$$s_u = p' \cdot f(IP, \text{OCR})$$

Prove penetrometriche (CPT/SPT)
Prove di laboratorio standard

- Nonlinearità

Prove RC/TS
Relazioni empiriche

- Smorzamento



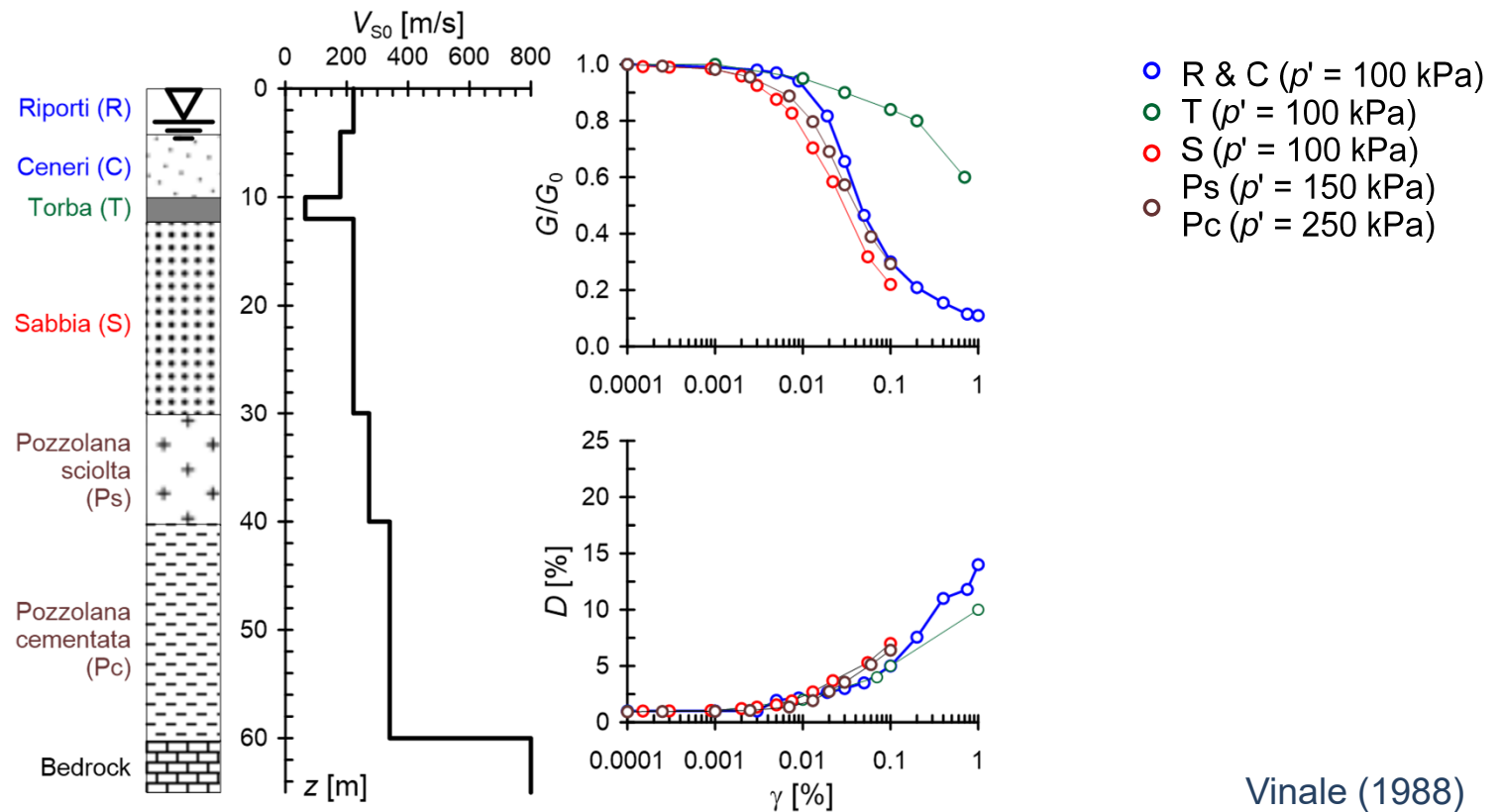
Indice

1. Concetti introduttivi
 - Definizioni
 - Caso studio di Città del Messico
 - Ipotesi semplificative
2. Comportamento meccanico dei terreni
 - Comportamento del terreno sotto azioni cicliche
 - Effetti della non linearità
3. Modelli costitutivi nonlineari
 - Modelli iperbolici
 - Regole di Masing
4. Esempi applicativi
 - **Napoli Est**
 - **Viadotto stradale Centro Italia**
5. Conclusioni



Napoli Est

stratigrafia



Vinale (1988)
Bilotta *et al.* (2015)

strato	γ [kN/m ³]	ϕ' [°]	c' [kPa]	OCR
R	15	28	10	1.0
C	14	28	10	2.3
T	12	30	0	1.0
S	17	36	0	1.0
Ps	15	37	0	2.3
Pc	15	28	100	3.0



Prof. Ing. Riccardo Conti

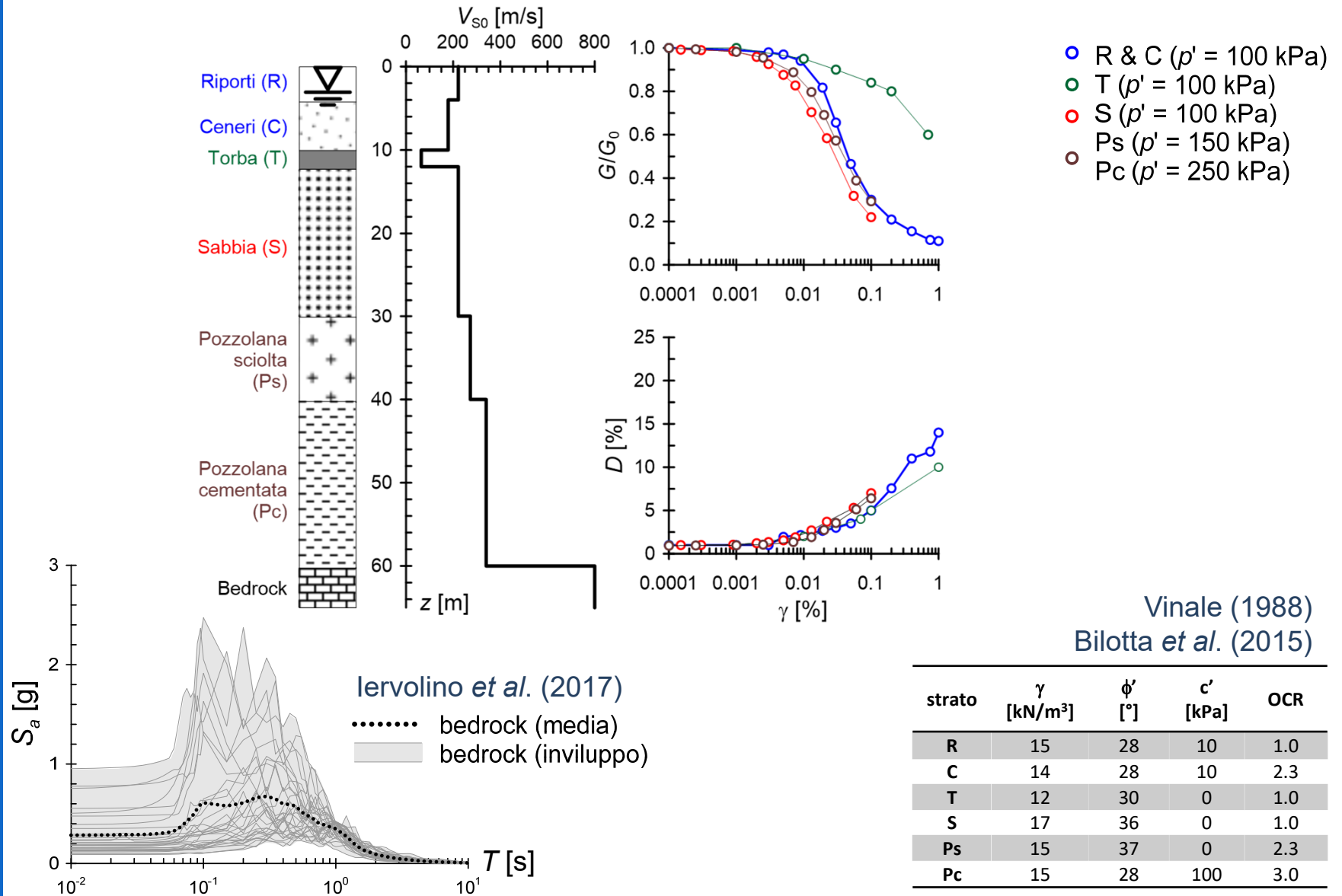
Modelli non lineari per Analisi di Risposta Sismica Locale

26/09/2023



Napoli Est

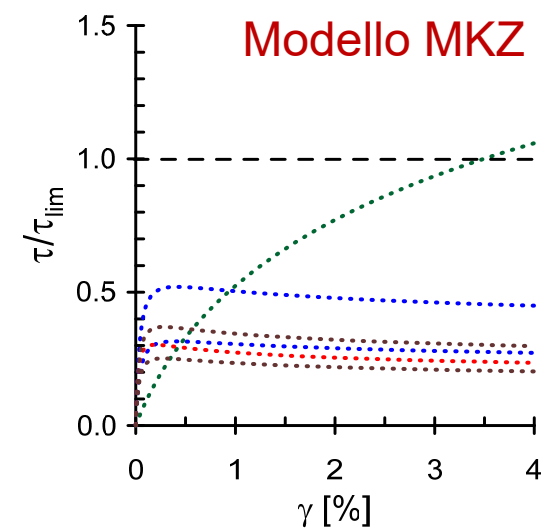
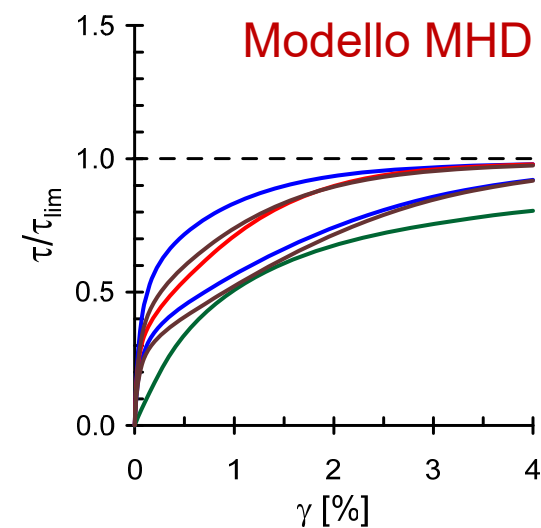
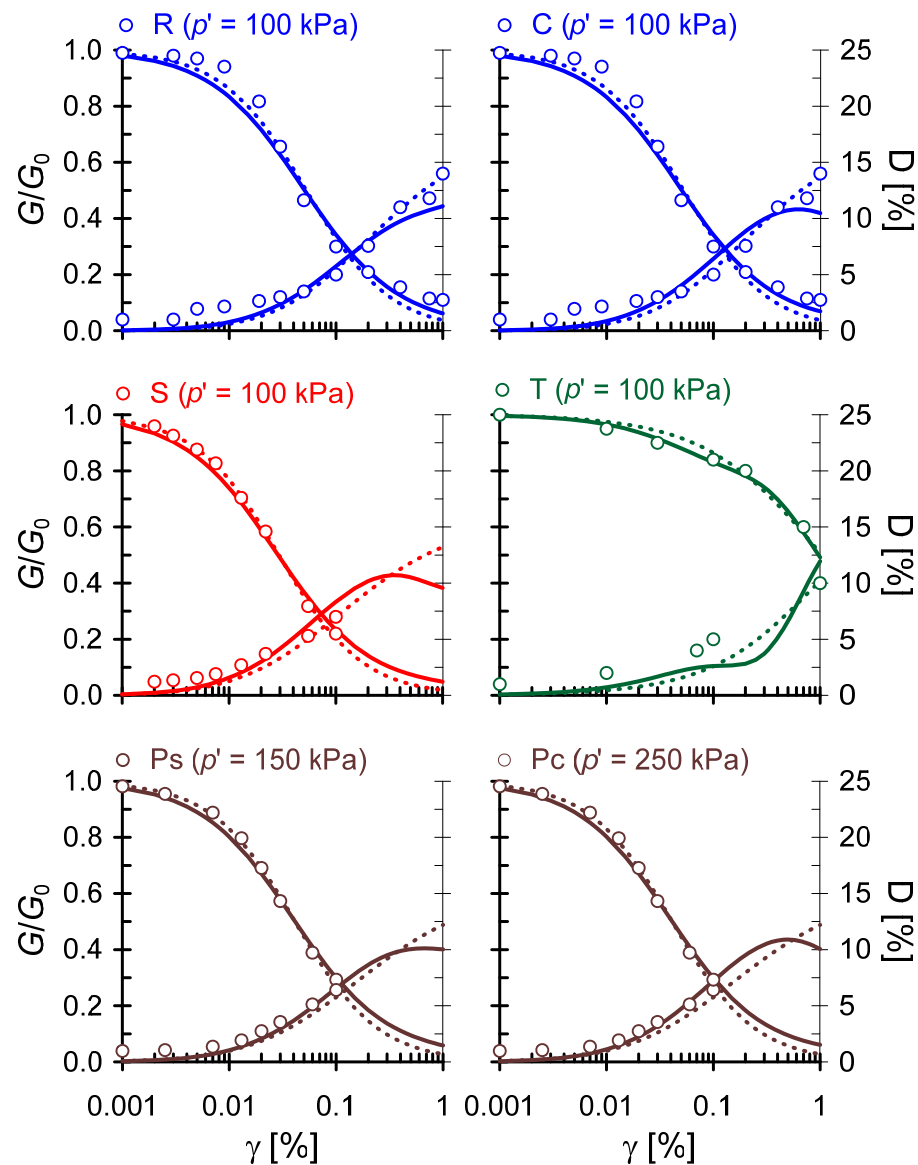
Input sismico



Prof. Ing. Riccardo Conti

Modelli non lineari per Analisi di Risposta Sismica Locale

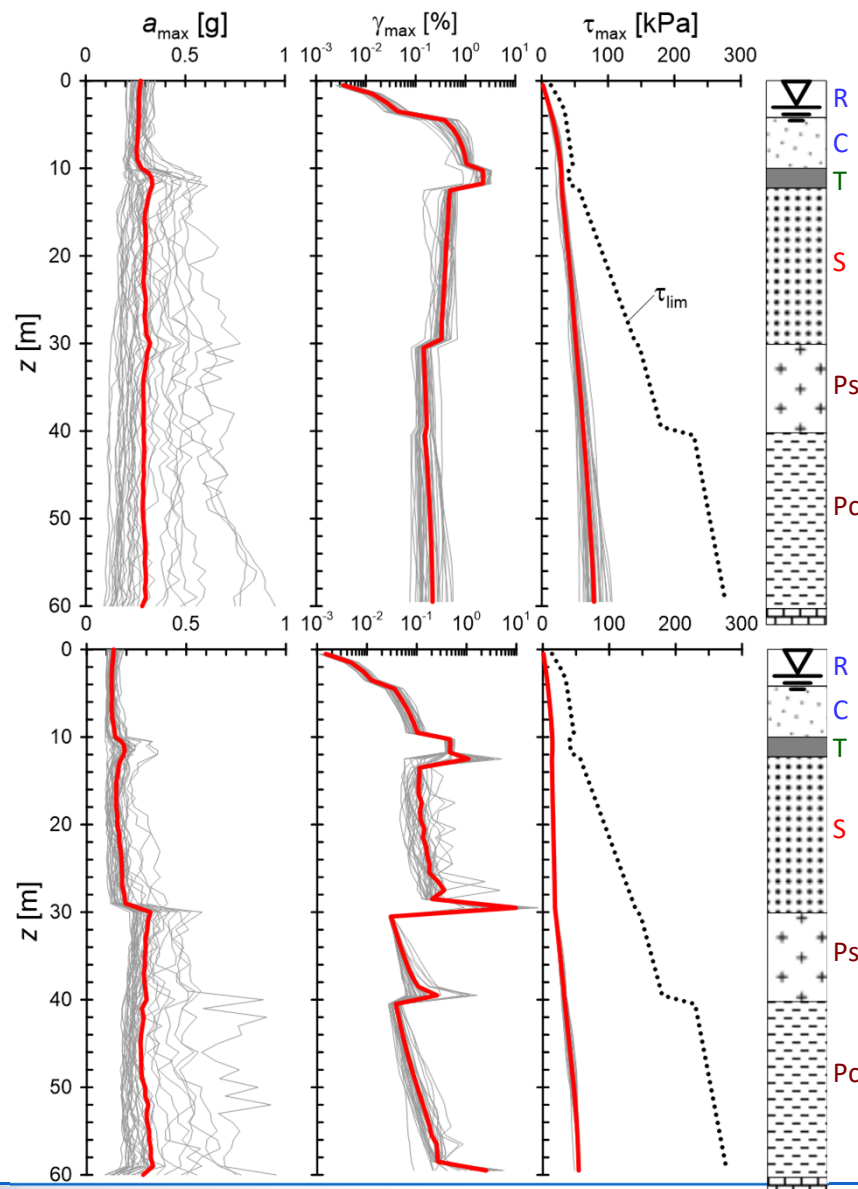
26/09/2023



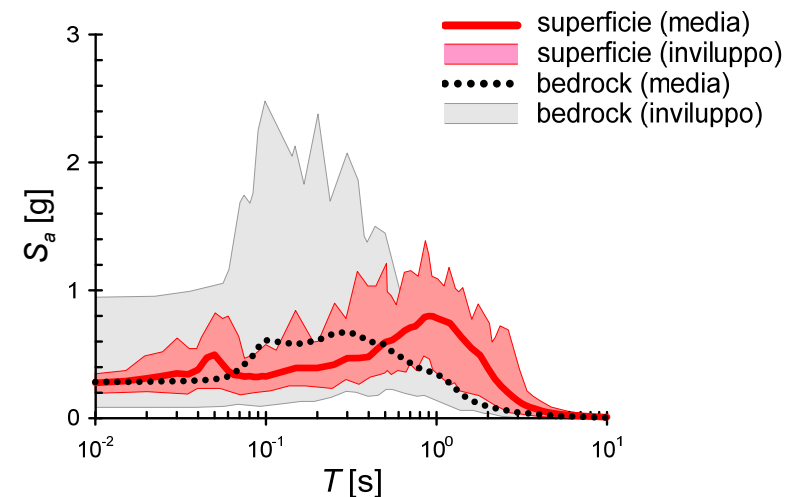


Napoli Est

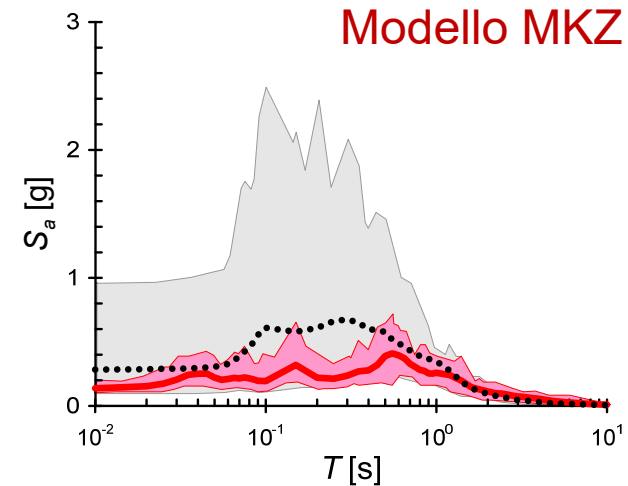
risultati



Modello MHD



Modello MKZ



Prof. Ing. Riccardo Conti

Modelli non lineari per Analisi di Risposta Sismica Locale

26/09/2023

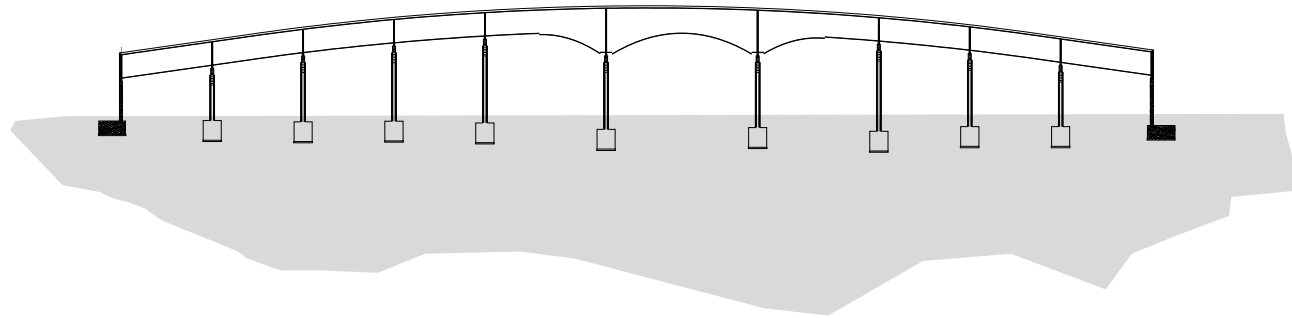


Viadotto del Centro Italia

Caso studio

Licata et al. (2019)

Conti et al. (2020)



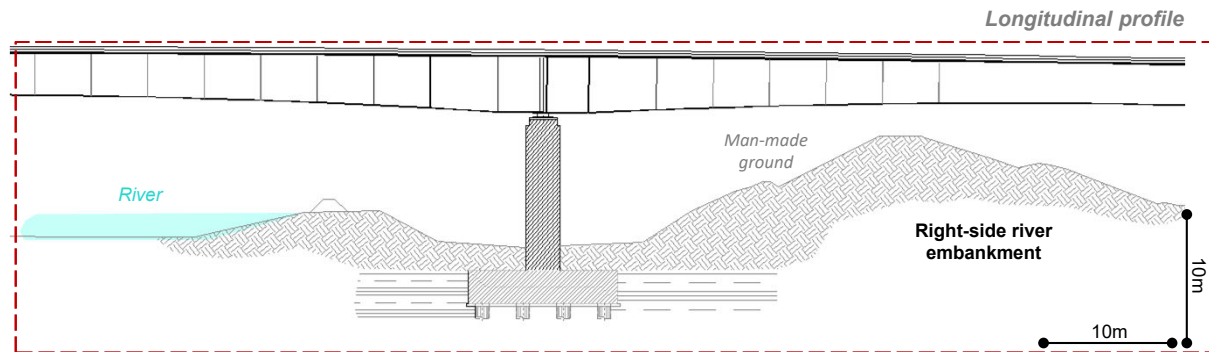
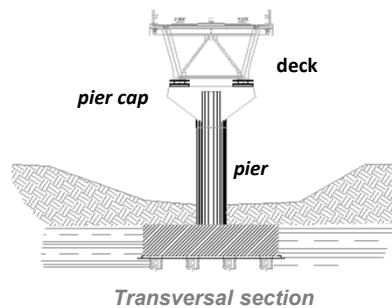
Analisi di RSL

- i. Inquadramento dell'opera
- ii. Azione sismica di progetto
- iii. Definizione del **modello geotecnico di sottosuolo**
(**dati sperimentali + HVSR + letteratura**)
- iv. Selezione degli accelerogrammi (segnale di input)
- v. Analisi di **RSL Lineare Equivalente & Nonlineare**
 - i. Moto free-field in superficie (u_{ff0})
 - ii. $\gamma_m(z)$, $V_s(\gamma_m)$ e $\xi(\gamma_m)$

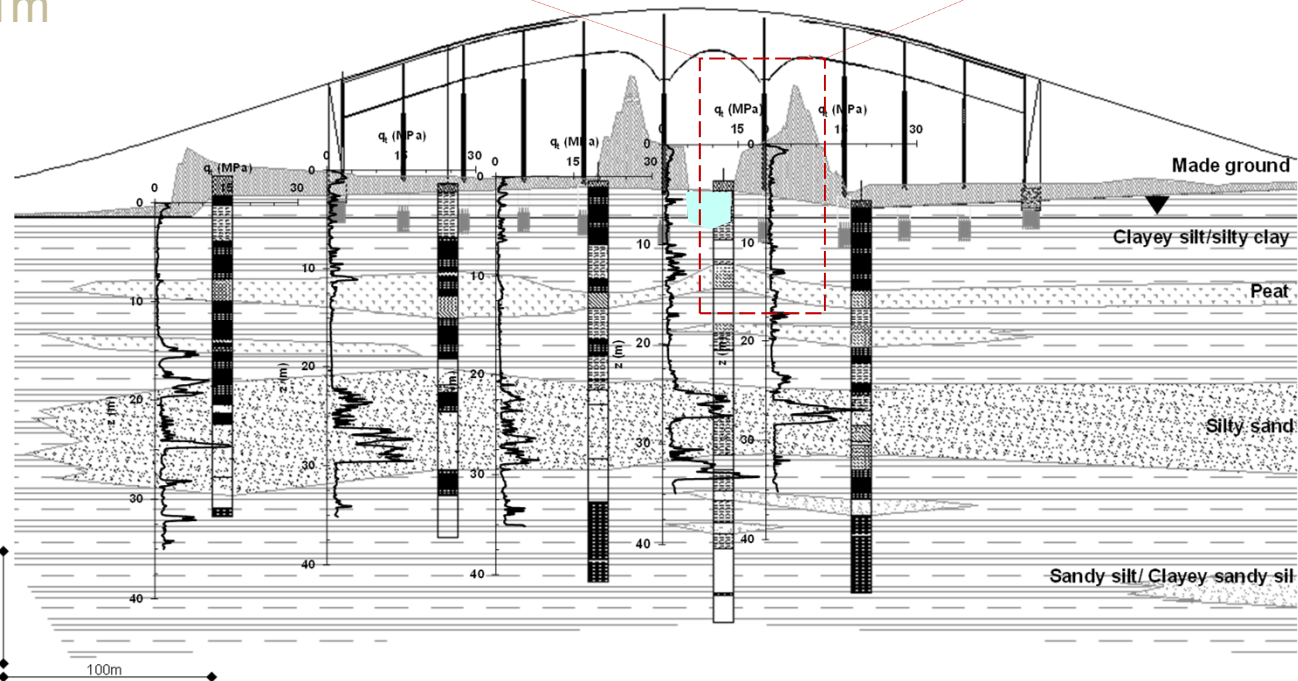


Viadotto del Centro Italia

inquadramento



Viadotto 10 campate
Pila centrale 11m



Prof. Ing. Riccardo Conti

Modelli non lineari per Analisi di Risposta Sismica Locale

26/09/2023



Viadotto del Centro Italia

Azione sismica

Vita nominale: $V_N = 50$ anni

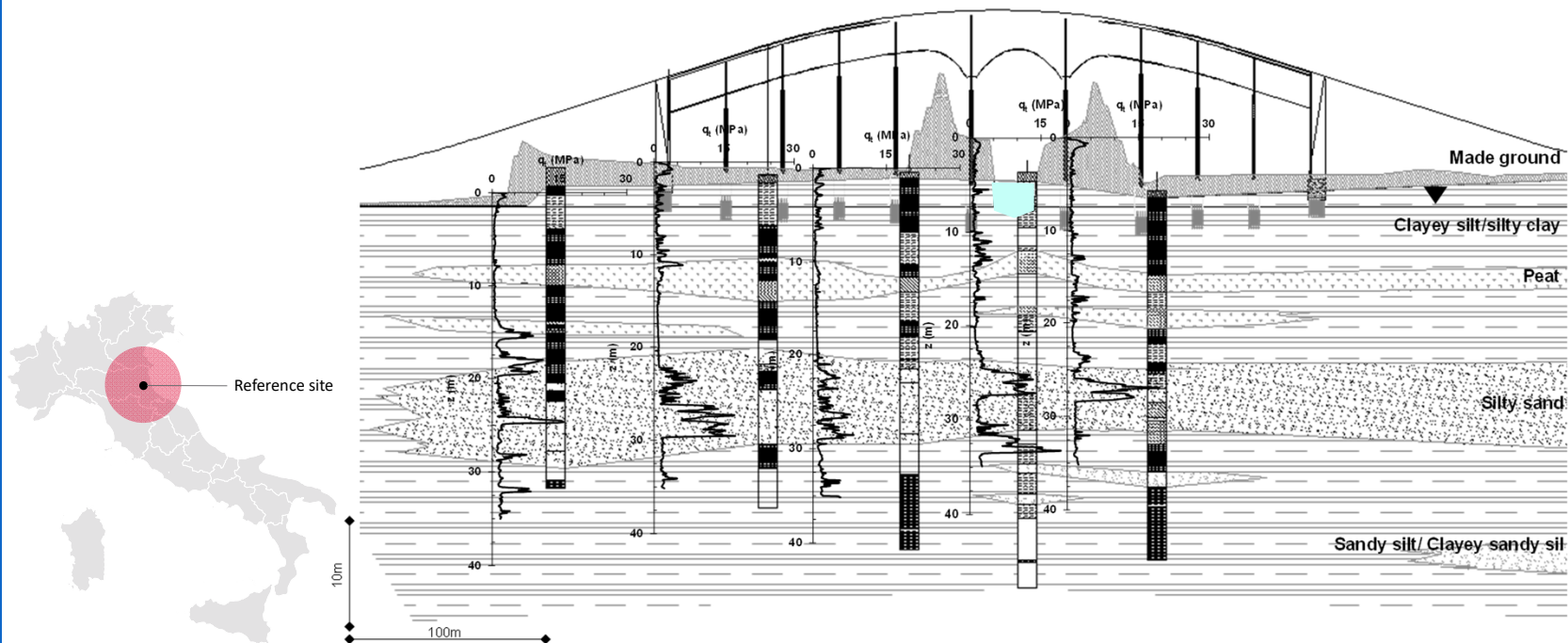
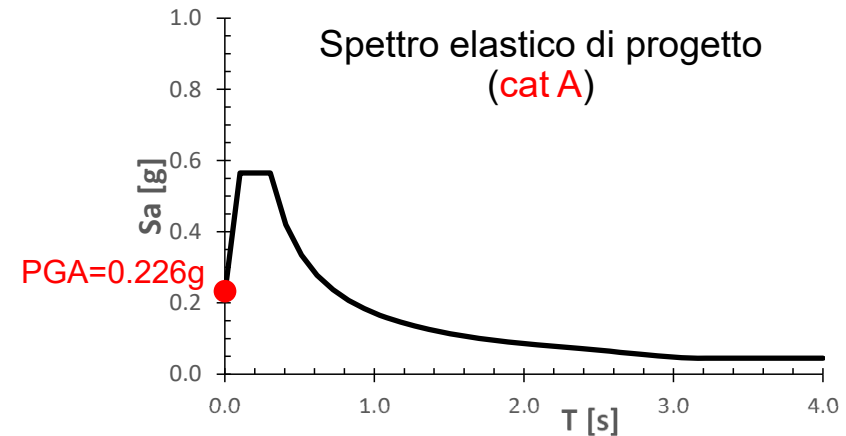
Classe d'uso: IV ($C_U = 2$)

Vita di riferimento:

$V_R = V_N C_U = 100$ anni

SLV: $P_{VR} = 10\%$

$T_R = 950$ anni



Prof. Ing. Riccardo Conti

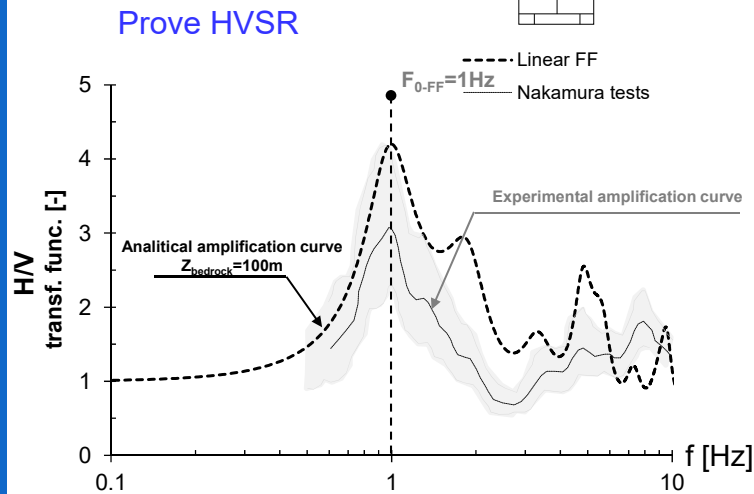
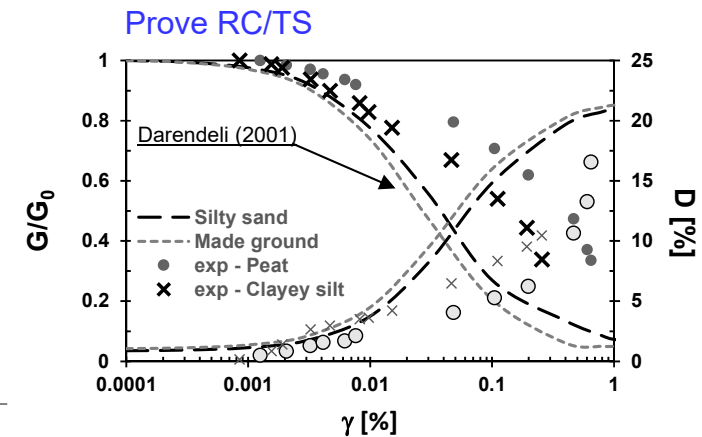
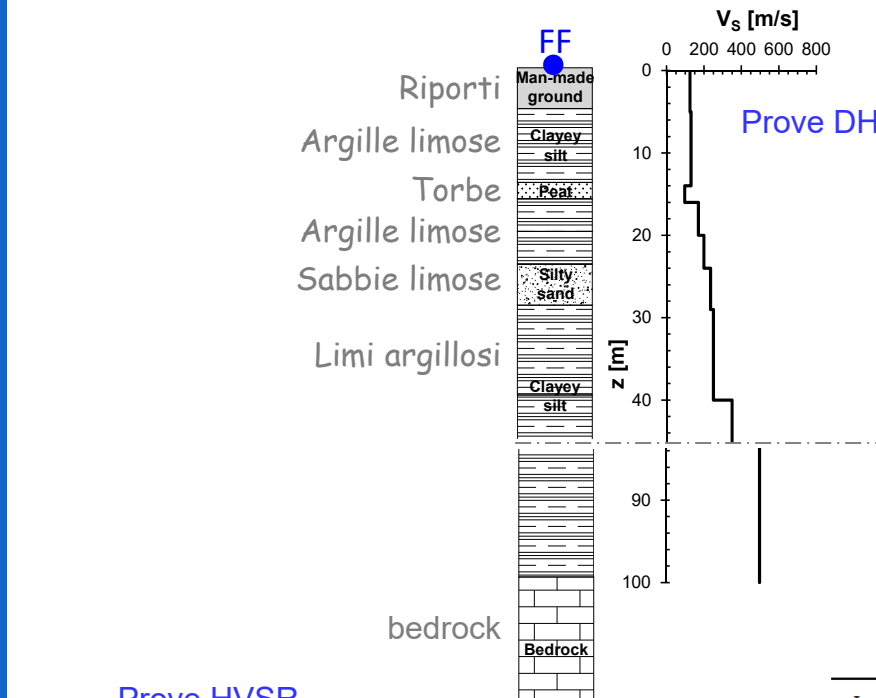
Modelli non lineari per Analisi di Risposta Sismica Locale

26/09/2023



Viadotto del Centro Italia

Modello geotecnico



Layer	z [m]	γ [kN/m ³]	V_{s0} [m/s]	c_u [kPa]	φ [°]	PI [%]	OCR	K_0
MG	0-5	18	125	40	23	10	1	0.61
CS	5-14	16	130	50	20	30	1	0.66
P	14-16	12	97	32	28	50	1	0.53
CS	16-20	16	170	120	20	30	1	0.66
	20-24	16	200	120	20	30	1	0.66
SS	24-29	18	235	-	30	5	1	0.50
CS	29-40	18	250	180	22	30	1	0.63
	40-60	18	350	290	22	30	1	0.63
	60-80	18	450	400	22	30	1	0.63
	80-100	18	500	520	22	30	1	0.63
Bedrock	100- ...	20	800					



Prof. Ing. Riccardo Conti

Modelli non lineari per Analisi di Risposta Sismica Locale

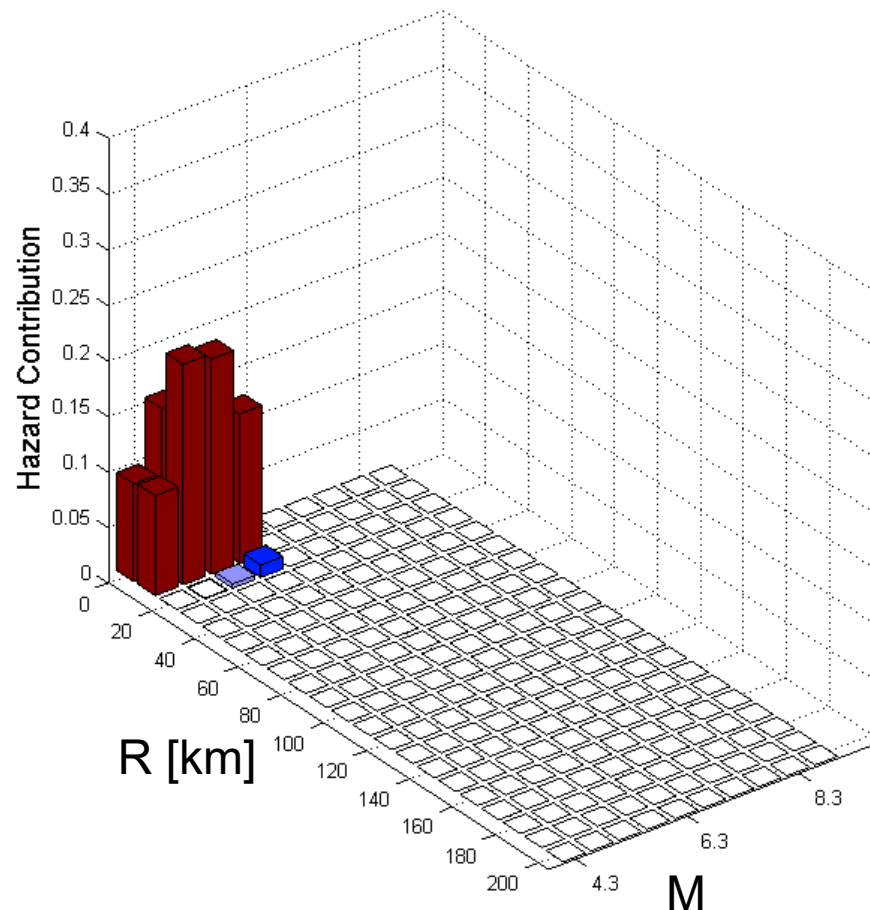
26/09/2023



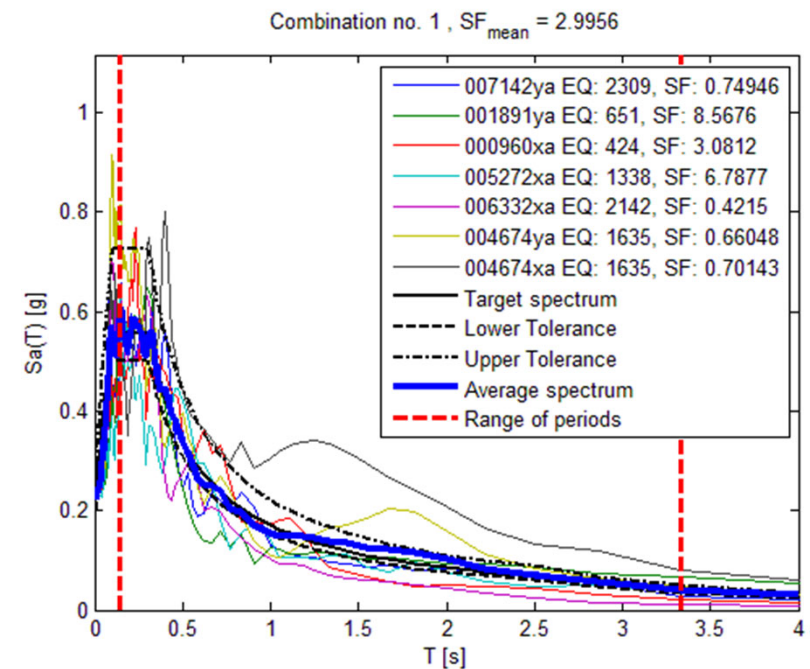
Viadotto del Centro Italia

Selezione accelerogrammi

Analisi di pericolosità sismica
(**analisi di disaggregazione**, $T_R = 950$ anni)



Selezione accelerogrammi spetrocompatibili



Prof. Ing. Riccardo Conti

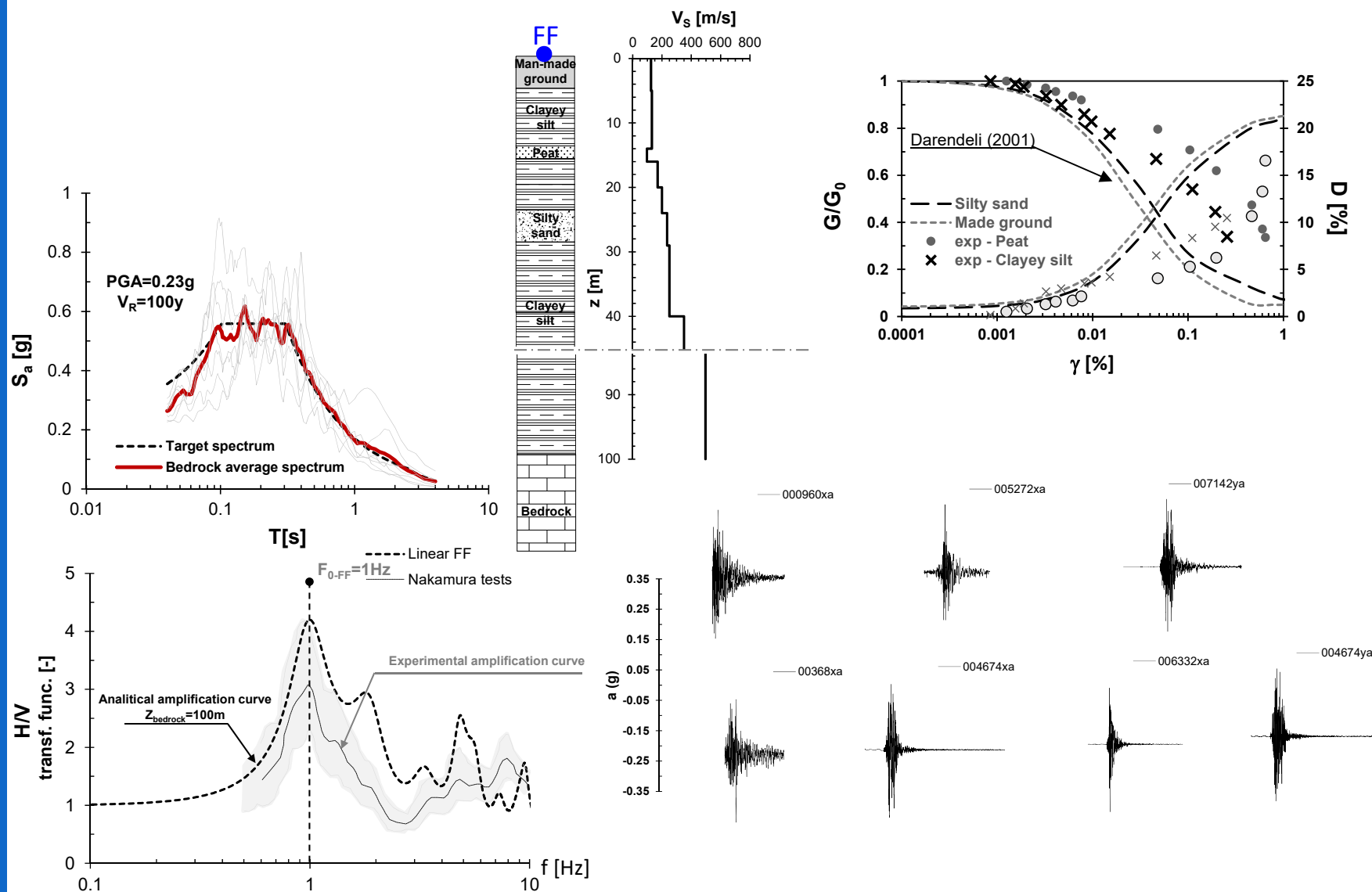
Modelli non lineari per Analisi di Risposta Sismica Locale

26/09/2023



Viadotto del Centro Italia

Analisi RSL



Prof. Ing. Riccardo Conti

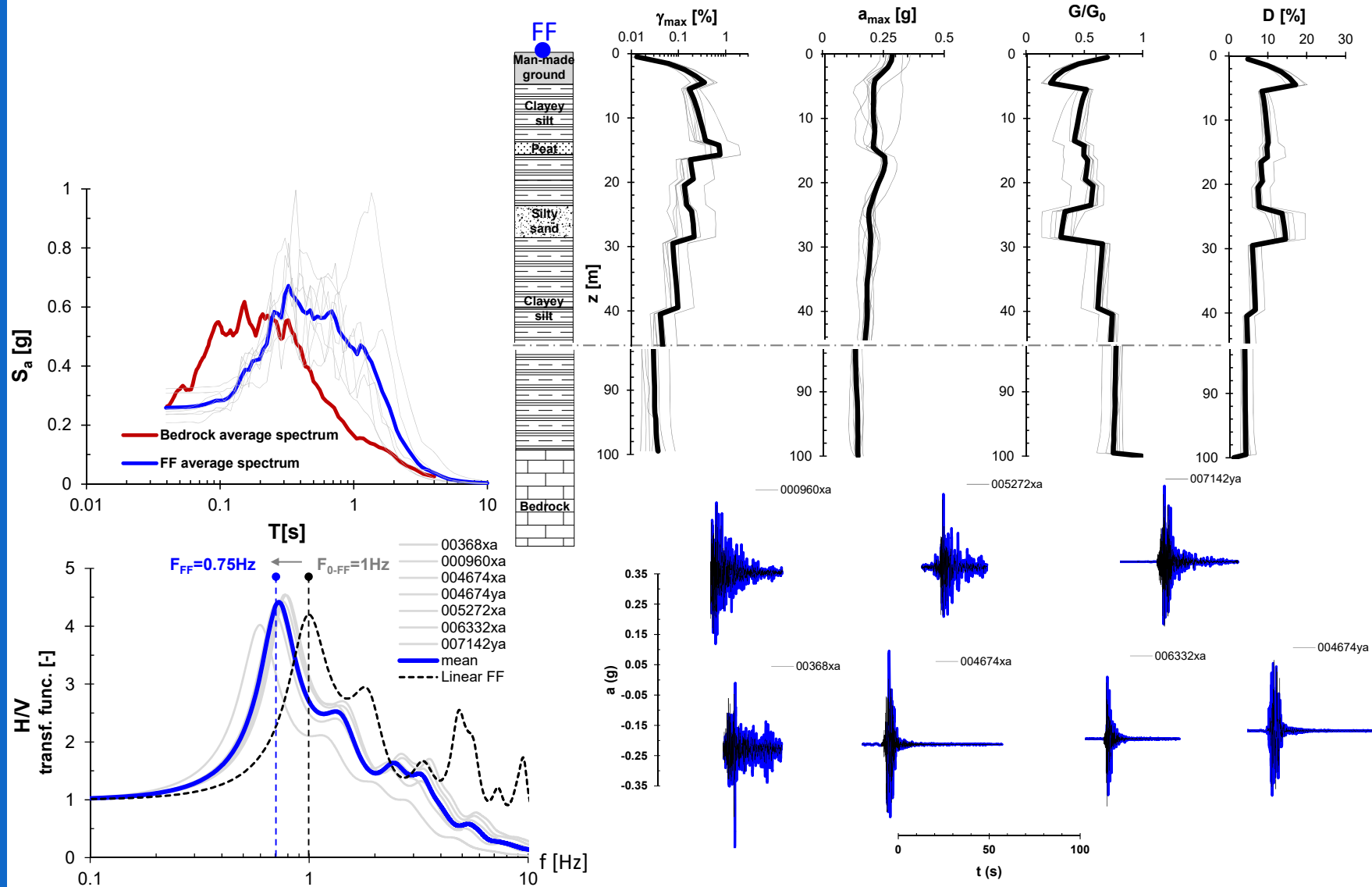
Modelli non lineari per Analisi di Risposta Sismica Locale

26/09/2023



Viadotto del Centro Italia

Analisi RSL *Lin. Equiv.*



Prof. Ing. Riccardo Conti

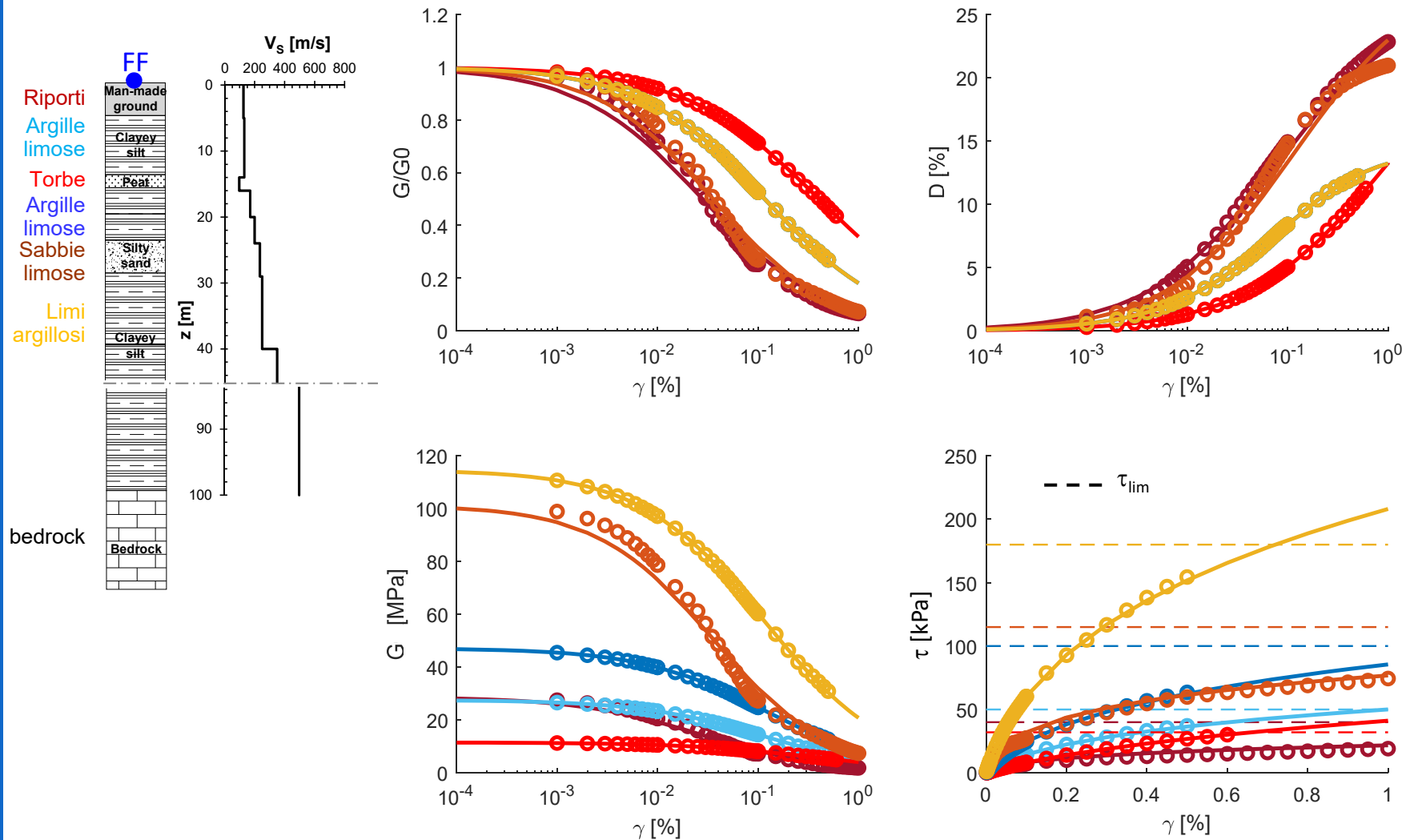
Modelli non lineari per Analisi di Risposta Sismica Locale

26/09/2023



Viadotto del Centro Italia

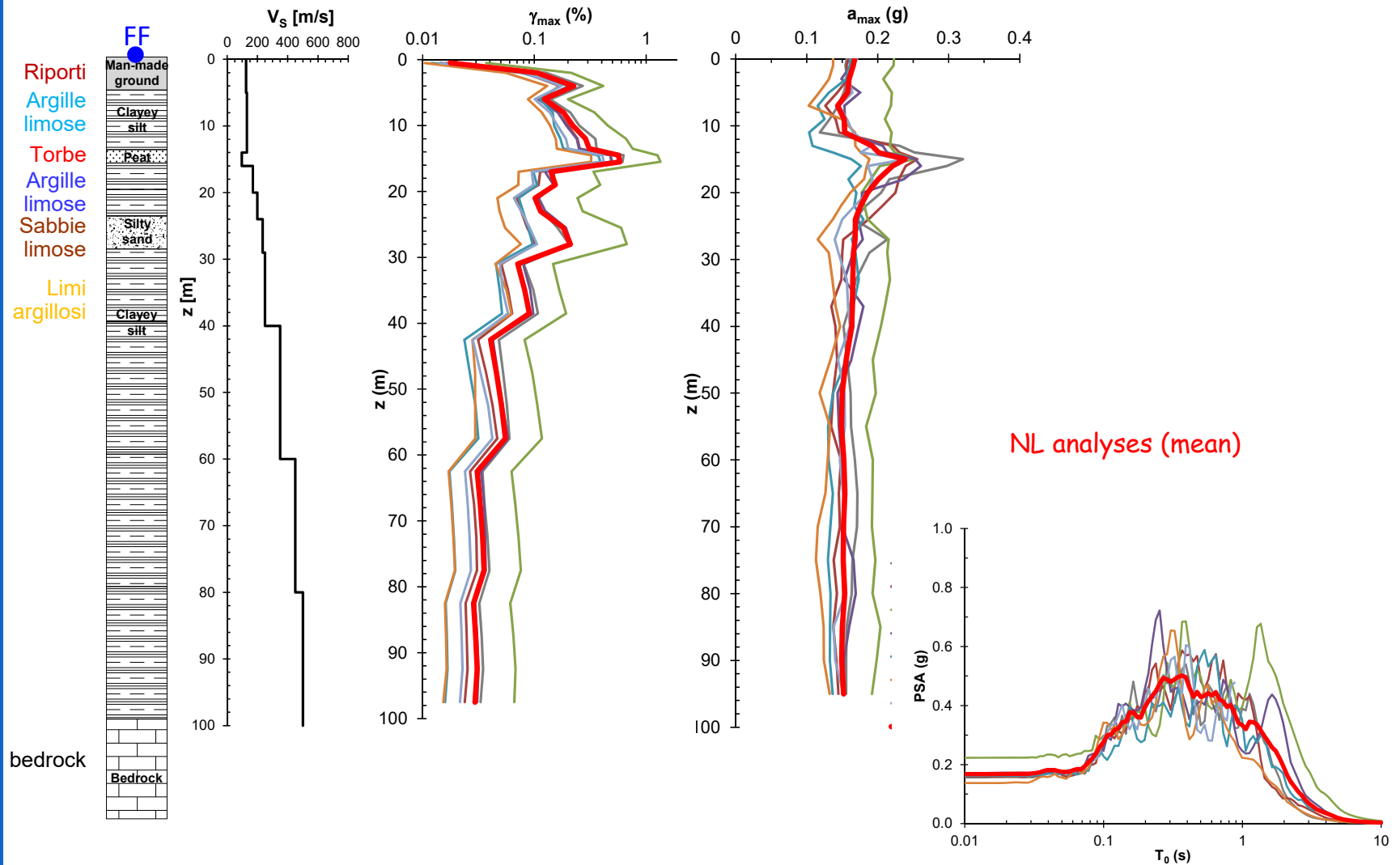
Analisi RSL *nonlineari*





Viadotto del Centro Italia

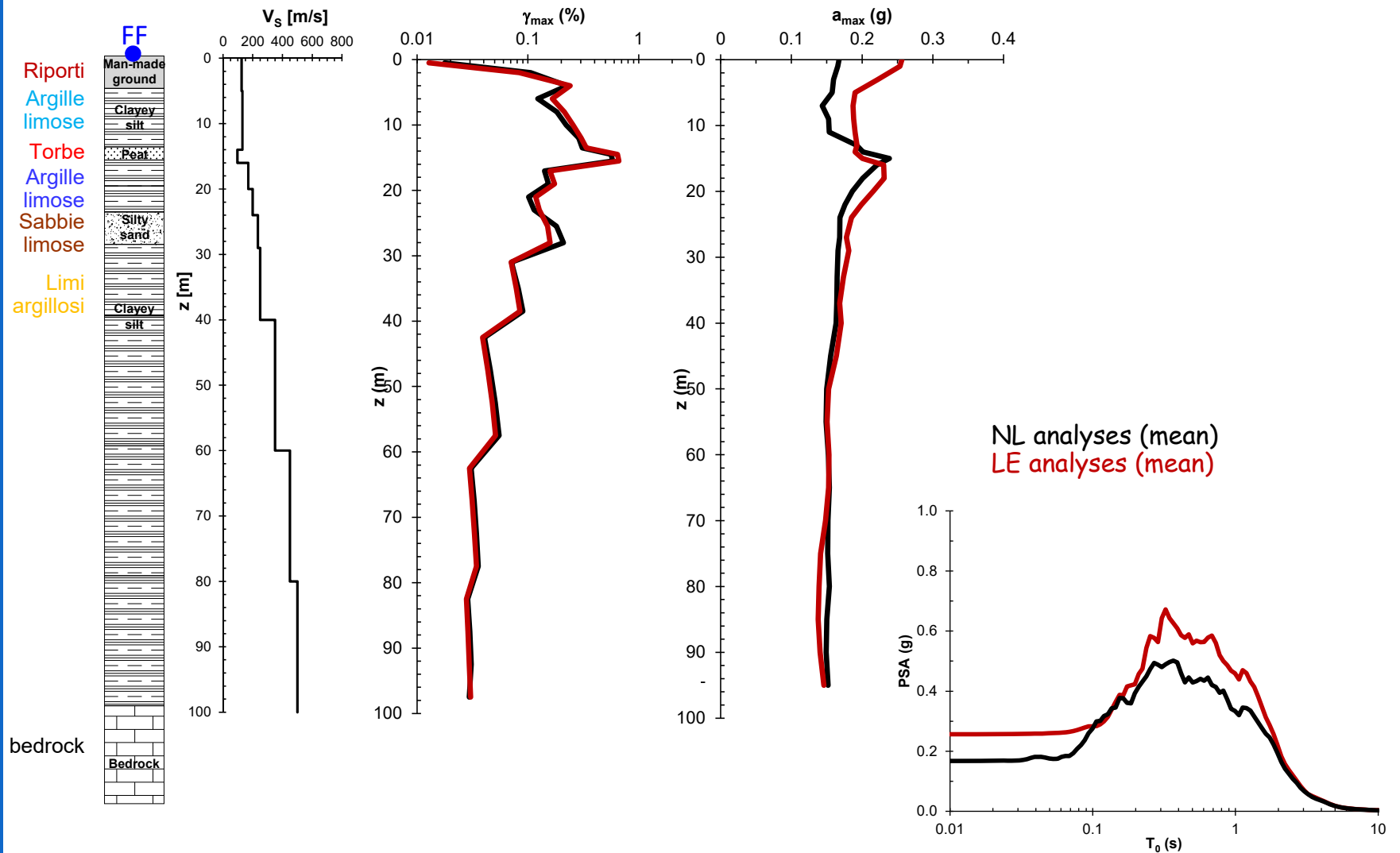
Analisi RSL *nonlineari*





Viadotto del Centro Italia

Analisi RSL *nonlineari*



Prof. Ing. Riccardo Conti

Modelli non lineari per Analisi di Risposta Sismica Locale

26/09/2023



Conclusioni

Scelta di analisi & modello = f (livello deformativo)

Modello nonlineari

- ☐ *Backbone*
(iperbolici HD, MKZ, MHD)
- ☐ Leggi di Scarico-ricarico
(Masing, PH)

Taratura dei parametri costitutivi

- ☐ Prove in sito/laboratorio/relazioni empiriche
- ☐ Importanza della resistenza

Analisi di RSL

- ☐ Riduzione delle accelerazioni in superficie (rispetto ad Analisi LE)
(sconto sulle azioni... ma più onere per caratterizzazione & calibrazione)
- ☐ Importanza della resistenza



GRAZIE PER L'ATTENZIONE

Prof. Ing. Riccardo Conti
riccardo.conti@uniroma2.it



Prof. Ing. Riccardo Conti

Modelli non lineari per Analisi di Risposta Sismica Locale

26/09/2023